

## تحلیل مکانی تصادفات در تقاطع‌های بروون شهری با به کارگیری روش‌های خود همبستگی مکانی و برآورد تراکم کرنل

سایه زینلی<sup>۱\*</sup>، فرهاد حسینعلی<sup>۲</sup>، ابوالقاسم صادقی نیارکی<sup>۳</sup>، محمد کاظمی بیدختی<sup>۴</sup>، میثم عفتی<sup>۵</sup>

- ۱- دانشجوی کارشناسی ارشد سیستم‌های اطلاعات مکانی - دانشکده مهندسی عمران دانشگاه تربیت دبیر شهید رجایی - تهران - لویزان
- ۲- استادیار گروه سیستم‌های اطلاعات مکانی - دانشکده مهندسی عمران دانشگاه تربیت دبیر شهید رجایی - تهران - لویزان
- ۳- استادیار گروه سیستم‌های اطلاعات مکانی (GIS)، دانشکده مهندسی نقشه برداری (ژئوپزی و ژئوماتیک)، قطب علمی فناوری اطلاعات مکانی، دانشگاه صنعتی خواجه نصیر الدین طوسی
- ۴- دانشجوی کارشناسی ارشد سیستم‌های اطلاعات مکانی - پردیس دانشکده‌های فنی - دانشگاه تهران
- ۵- استادیار گروه مهندسی عمران، دانشکده فنی، دانشگاه گیلان

تاریخ دریافت مقاله: ۱۳۹۴/۰۵/۲۷      تاریخ پذیرش مقاله: ۱۳۹۴/۰۸/۳۰

### چکیده

امروزه آمار بالای تصادفات راه‌های بروون شهری حاکی از این است که تصادفات در تقاطع‌ها درصد بالایی از تعداد کل تصادفات را تشکیل می‌دهند. در این میان سیستم‌های اطلاعات مکانی (GIS) به عنوان ابزاری مناسب جهت انجام آنالیزهای مکانی و تحلیل تصادفات در تقاطع‌ها به شمار می‌روند. همچنین با توجه به این که داده‌های تصادف حجیم و ناهمگن هستند، روش‌های خودههمبستگی مکانی و برآورد کرنل می‌توانند مدلی پیوسته و واقعی تر را از الگوهای نقاط کانونی در تصادفات راه‌های بروون شهری ارائه دهند. هدف از این تحقیق تحلیل مکانی تصادفات راه‌های بروون شهری مبتنی بر تقاطع‌های بروون شهری با به کارگیری روش‌های خودههمبستگی مکانی و برآورد تراکم کرنل است. در مرحله اول معیارهای مناسب برای تحلیل مکانی تصادفات در محور قدیم کرج-قزوین را در بازه زمانی ۱۳۹۲-۱۳۸۸ در نظر گرفته و با استفاده از روش تحلیل سلسه‌مراتبی فازی وزندهی شدند. سپس به منظور شناسایی تقاطع‌های حادثه‌خیز و بررسی ویژگی‌های آن‌ها از توابع خودههمبستگی گتیس-ارد جی استار، شاخص انسلین محلی موران و تابع برآورد تراکم کرنل استفاده گردید. همچنین به منظور بررسی خودههمبستگی مکانی هر یک از پارامترهای مورد استفاده در ۵ سال متولی تابع شاخص موران به کار رفت. نتایج نشان داد که از مجموع تقاطع‌های مسیر رفت و برگشت، ۲۶ تقاطع حادثه‌خیز در مسیر رفت و ۱۰ تقاطع حادثه‌خیز در مسیر برگشت وجود دارد. همچنین برای مسیر رفت هیچ‌کدام از پارامترها و برای مسیر برگشت تنها پارامتر نوع تصادف دارای وابستگی مکانی در ۵ سال متولی بود.

**کلید واژه‌ها:** تصادفات راه‌های بروون شهری، تقاطع، روش‌های خودههمبستگی مکانی، تابع برآورد تراکم کرنل، سیستم اطلاعات مکانی (GIS).

\* نویسنده مسئول: تهران-دانشکده مهندسی عمران-دانشگاه تربیت دبیر شهید رجایی-لویزان

تلفن: ۰۲۱۲۲۹۷۰۰۲۱

## ۱- مقدمه

تحمیل می‌کنند [۳]. با وجود اهمیت و مزایای انکارناظیر حمل و نقل راههای برون‌شهری در زندگی جوامع، سازماندهی و تحلیل اطلاعات مربوط به تصادف، از قبیل نوع تصادف، محل تصادف و دیگر حالت‌های حمل و نقلی درگیر در تصادفات برای تحلیل‌های اینمی حمل و نقل بسیار مهم هستند.

اینمی ترافیک از مباحث مهم در حمل و نقل و از اولویت‌های مهم سازمان‌های داخلی در این حوزه است. وجود تقاطع در یک قطعه راه موجب می‌شود، احتمال تصادف  $1/6$  برابر شود [۴]. با توجه به این نکته که  $1/80$ ٪ ترافیک کشور و  $75$ ٪ تصادفات بر روی  $20$ ٪ از راه‌های بین‌شهری و بین استانی رخ می‌دهند و اینکه اکثر تصادفات بر روی  $1680$  کیلومتر از مجموع  $85000$  کیلومتر راههای بین‌شهری و بین‌استانی کشور رخ می‌دهند، تحقیق و سرمایه‌گذاری بیشتر در این مورد ضروری به نظر می‌رسد [۵].

تقاطع‌ها بخش مهمی از سیستم راههای برون‌شهری در هر کشوری هستند. بازده عملکردی، ظرفیت، اینمی و هزینه‌های کلی سیستم تا حد زیادی بستگی به طراحی آن دارد. هدف اصلی طراحی تقاطع‌ها فراهم نمودن راحتی، سهولت و اینمی افراد درگیر در تقاطع‌های است و این در حالی است که طراحی صحیح آن، درگیری احتمالی بین وسایل نقلیه را نیز در راههای برون‌شهری کاهش می‌دهد. تقاطع‌ها می‌توانند با تحلیل مقادیر متفاوت که وقوع تصادف را تحت تأثیر قرار می‌دهند، این‌شنوند و سپس این متغیرها در طول طراحی تقاطع‌ها به طوری که کمتر در معرض تصادف باشند، کنترل شوند. فعالیت‌هایی همچون گردش به چپ، عبور<sup>۱</sup> و گردش به راست و عبور چند راه از یکدیگر پتانسیل وقوع تصادف در تقاطع‌های برون‌شهری را بالا می‌برند [۶]. آمار منابع مختلف در سراسر جهان نشان می‌دهد که تصادفات در تقاطع‌ها درصد بالایی از تعداد کل تصادفات در سیستم راههای برون‌شهری را

در دنیای امروز به دلیل افزایش نیاز به ارتباط، مسئله حمل و نقل ارزش بالایی دارد. در هر کشور بر اساس زیرساخت‌های توسعه‌یافته در آن، یکی از شیوه‌های حمل و نقل صورت متدالوی تری به خود می‌گیرد. در کشور ایران نیز مانند بسیاری از کشورهای جهان، سفرهای زمینی از تراکم بالاتری نسبت به سایر روش‌های حمل و نقل برخوردار هستند؛ به همین دلیل راه‌ها شریان‌های حیاتی برقرارکننده ارتباط بین مناطق مختلف می‌باشند. از طرفی خدمات جانی و مالی ناشی از تصادفات رانندگی در راه‌ها، جوامع را با مشکلات عدیدهای روبرو ساخته‌اند.

طبق آمار سازمان راهداری و حمل و نقل جاده‌ای، سالانه بالغ بر  $23$  هزار نفر در ایران به دلیل تصادفات در راه‌های برون‌شهری جان خود را از دست می‌دهند [۱]. این در حالی است که سالانه حدود یک میلیون و  $500$  هزار دستگاه انواع خودرو در ایران ساخته می‌شود و به موازات افزایش کاربرد خودرو در زندگی انسان‌ها، طول راه‌ها نیز با رشد  $1000$  کیلومتری در سال در حال افزایش است؛ اما اینمی راه‌ها با دو شاخص تولید خودرو و افزایش راه‌ها هم‌خوانی ندارد تا حدی که می‌توان ادعا کرد ضریب اینمی راه‌ها در سطح بین‌المللی، با نرخ رشد تولید خودرو و افزایش طول راههای زمینی، نسبتی معکوس دارد. رقم تصادفات رانندگی در ایران در طی سه دهه اخیر غالباً سیری صعودی داشته و در محدود دوره‌هایی روند آن ثابت و یا نزولی شده است [۲]. هم‌چنان آمار ارائه شده به وسیله سازمان راهداری و حمل و نقل جاده‌ای حاکی از آن است که حدود  $70$ ٪ تصادفات کشور در راههای برون‌شهری و  $30$ ٪ داخل شهر اتفاق می‌افتد [۱].

هدف اصلی سیستم حمل و نقل راههای برون‌شهری بهبود جابه‌جایی و به حداقل رساندن تصادفات است. اگرچه برای عموم، زمان سفر از ارزش بیشتری نسبت به دیگر نتایج سیستم حمل و نقل برخوردار است، اما تصادفات بار اقتصادی بزرگی را بر جامعه

<sup>1</sup> Crossing Over

انتخاب شده و مورد بررسی قرار گرفتند و در جدول (۲) مشاهده می‌شوند، این معیارها عبارتند از: وضعیت جوی، نوع تصادف، روشنایی، نوع منطقه، هندسه محل و عامل انسانی. طرح و هندسه مسیر که شامل ویژگی‌هایی از قبیل (پیچ، سربالایی/سرپایینی)، (پیچ، مسطح)، (مستقیم، سربالایی/سرپایینی)، (مستقیم، مسطح) است و همچنین نوع منطقه (کوهستانی، تپه‌ماهور و هموار) از عوامل مهم در وقوع تصادفات رانندگی هستند [۱۲]. تعداد و شدت تصادفات در شیب‌های سرازیری بیشتر از شیب‌های سربالایی است و با افزایش درصد شیب تعداد تصادفات افزایش می‌یابند [۱۳] [۱۴] از طرفی تقاطع‌ها نیز به دلیل شرایط هندسی خاص خود در ترکیب با شرایط محیطی و عوامل دیگر به عنوان عوامل کلیدی در حادثه‌خیزی راه‌های برون شهری شناخته می‌شوند [۱۵]، بنابراین در نظر گرفتن نقش عامل راه در کنار دیگر عوامل مؤثر در بررسی حادثه‌خیزی و افزایش اینمنی راه‌های برون شهری انکارناپذیر است. آب و هوا نیز از عوامل مؤثر در وقوع و شدت تصادفات در راه‌های برون شهری محسوب می‌شوند [۱۵]. شرایط آب و هوایی بد علاوه بر تأثیر در میدان دید، سبب کاهش اصطکاک سطح جاده و به دنبال آن کاهش کارایی سیستم ترمز در وسایل نقلیه می‌شوند. سجادی (۱۳۸۹) در تحقیق خود به این نتیجه رسیده است که نسبت تصادف در زمان بارانی نسبت به زمان غیر بارانی ۱/۷۸ برابر می‌شود. از طرفی روشنایی (روزن، شب، به معنای شرایط نوری راه و زیرمجموعه اطلاعات محیطی تصادفات) به دلیل تأثیر در دید از عوامل مؤثر در افزایش تعداد و شدت تصادفات در راه‌های برون شهری است [۱۶]. دنیو و وراراگون<sup>۴</sup> (۲۰۱۱) جهت بررسی اثر روشنایی در ایجاد تصادفات دو مدل جداگانه را برای روز و شب توسعه داده‌اند و اثر عوامل مختلف را در هر دو حالت بررسی کرده‌اند.

4 Dinu and Veraragavan

تشکیل می‌دهند [۷].

در سال‌های اخیر سیستم اطلاعات مکانی<sup>۱</sup> تحولات انکارناپذیری را در زمینه سازمان‌دهی و مدیریت داده‌های مکانی ایجاد نموده است و علاوه بر اطلاعات دقیق مکانی، امکاناتی چون آنالیزهای مکانی، شبیه‌سازی و مدل‌سازی را در اختیار برنامه‌ریزان و مدیران حمل و نقل قرار می‌دهد. نظر به اینکه تصادف یک پدیده مکان‌مند است، تحلیل‌های تصادفات راه‌های برون شهری بر مبنای GIS کمک شایانی در شناسایی مناطق مستعد بروز حادثه می‌نماید.

برخلاف گسترش روش‌های تحلیل الگوی نقاط، مطالعات کمی روی خوشبندی نقاط<sup>۲</sup> در حوزه تحلیل مکانی تصادفات در تقاطع‌های راه‌های برون شهری انجام گرفته است [۸] و این در حالی است که آمارها در سراسر جهان حاکی از میانگین بالایی از تصادفات تخمین زده شده در تقاطع‌ها هستند. در طول این سال‌ها ابزارهای مکانی متفاوتی برای تعیین نقاط حادثه‌خیز ارائه شده است. نویدبخش‌ترین این ابزارها روش‌های خودهمبستگی مکانی است [۹]. این روش‌ها قادرند است به سرعت و به صورت بصری نقاط کانون<sup>۳</sup> را از پایگاه داده بزرگ شناسایی کرده و در نتیجه خروجی آماری و رضایت‌بخشی را ارائه دهنند. همچنین این روش‌ها می‌توانند مدل پیوسته واقعی‌تری را از الگوهای نقاط کانونی در نمایش سطوح مختلف از جمله تصادفات در راه‌های برون شهری ارائه دهند [۱۰]. از طرفی بررسی ماهیت روابط بین راه، محیط‌زیست، عوامل ترافیکی و تصادفات رانندگی، با هدف بهبود شناخت جمعی سازوکارهای دخیل در تصادفات برای پیش‌بینی بهتر وقوع آن‌ها، مهم است [۱۱]. عوامل مؤثر بر تصادفات در تقاطع‌ها متناسب با اهداف و روش تحقیق و در دسترس بودن داده‌ها در این تحقیق

1 Geospatial Information System (GIS)

2 Point Clustering

3 Hot Spot

ارزیابی نتایج و در نهایت نتیجه‌گیری و پیشنهادها در بخش ۷ ارائه شده است.

## ۲- پیشینه تحقیق

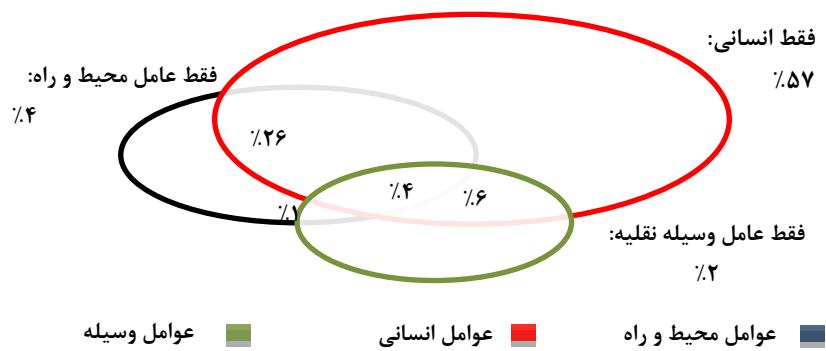
تاکنون تحقیقات بسیاری در حوزه تصادفات و نقاط حادثه‌خیز انجام شده است که به شناسایی نقاط حادثه‌خیز، تعیین معیارهای مناسب برای شناخت نقاط، اولویت‌بندی نقاط جهت رفع حادثه‌خیزی، ارزیابی روش‌های موجود و تعیین مدل مناسب برای بررسی آن‌ها می‌بردازند [۱۸].<sup>۱</sup> به دلیل اهمیت تقاطع‌ها و اینکه تصادفات در تقاطع‌ها درصد بالایی از تعداد کل تصادفات را به خود اختصاص می‌دهند، توجه به این نقاط به عنوان یکی از نقاط حادثه‌خیز راه‌ها ضروری به نظر می‌رسد. از جمله مطالعات در زمینه تحلیل تصادفات تقاطع‌ها می‌توان به موارد زیر اشاره کرد:

هاکرت<sup>۲</sup> و ماهالل<sup>۳</sup> (۱۹۷۸) میلادی از مدل پواسون برای مطالعه بر روی تصادفات در تقاطع‌ها استفاده کردند و تحقیقات آن‌ها شامل تحلیل‌های آماری از روند کلی در تعداد تصادفات تقاطع‌ها، شدت آن‌ها و تحلیل انواع تصادفات در تقاطع‌ها است. در این پژوهش مدلی توسعه داده شده قادر است که تعداد تصادفات فوتی و جرحی را در تقاطع‌های چراغدار و بدون چراغ تخمین بزند. تحقیقات آن‌ها نشان می‌دهد که بیش از ۵۰٪ تصادفات در تقاطع‌ها رخ می‌دهند. پیکرینگ<sup>۴</sup> و همکاران (۱۹۸۶) میلادی در مطالعاتشان بر روی تقاطع‌های سه‌راهه، از مدل پواسون به همراه مدل خطی چندمتغیره استفاده کردند. بر اساس تحقیقات آن‌ها ۳۳٪ تصادفات جرحی در تقاطع‌ها رخ داده‌اند که ۴۵٪ آن مربوط به تقاطعات سه‌راهه بوده است.

2 Hakkert  
3 Mahalel  
4 Pickering

کارشناسان اینمی بر این عقیده‌اند که تصادفات در راه‌های برون‌شهری به دلیل خطاهاي انسانی درصد بالایی را به خود اختصاص می‌دهند. اگرچه عامل انسانی (راننده وسیله نقلیه و یا عابر پیاده) نقش زیادی در بروز تصادف دارد ولی نقش آن در ترکیب با عوامل محیطی و طرح هندسی راه پررنگ‌تر می‌گردد [۱۶]. از عوامل اصلی انسانی که باعث بروز تصادف می‌شود می‌توان به خصوصیات فردی راننده مانند سن راننده، خستگی و خواب‌آلودگی، عجله و شتاب بی‌مورد، بی‌توجهی به مقررات، استعمال مواد مخدر، تخلف عمدی و ضعف ناشی از کهولت سن راننده هنگام رانندگی اشاره کرد. تحقیق ولورد و جوانیز<sup>۱</sup> (۲۰۰۶) نشان می‌دهد که افراد با سن کمتر از ۱۵ سال بیشتر در معرض خطرات تصادفات رانندگی هستند و همچنین احتمال تصادف برای افراد بالای ۶۰ سال نیز بالا است، پس از این گروه‌ها افراد با سن ۱۵-۲۴ سال سن در رتبه بعدی تصادفات قرار دارند. همان‌طور که در شکل (۱) نشان داده شده است علل انسانی و نیز علل انسانی محیطی به ترتیب منجر به بیش از نصف و یک چهارم از تصادفات در راه‌های برون‌شهری می‌شوند [۱۷]. لذا در نظر گرفتن تقابل عامل انسانی با عوامل محیطی و طرح هندسی راه را در تصادفات برون‌شهری نمی‌توان انکار کرد و نیاز به ارائه راهکارهایی است که با در نظر گرفتن این عوامل موجبات کاهش تعداد و شدت تصادفات و افزایش اینمی راه را فراهم آورد [۱۵]. هدف از این تحقیق، تحلیل مکانی تصادفات مبتنی بر تقاطع‌های برون‌شهری با به کارگیری روش‌های خود همبستگی مکانی و برآورد تراکم کرنل است. در ادامه، در بخش ۲ پیشینه تحقیق، در بخش ۳ روش سلسله مراتبی فازی، در بخش ۴ روش‌های خود همبستگی مکانی و برآورد تراکم کرنل، در بخش ۵ روش تحقیق و منطقه مورد مطالعه و داده‌های مورد استفاده در تحقیق در بخش ۶

<sup>۱</sup> Valverde and Jovanis



شکل ۱: نقش عامل انسانی در تصادفات راه‌های برون‌شهری در کنار سایر پارامترهای مؤثر [۱۷]

متراکم راه‌های برون‌شهری روش برآورده تراکم کرنل نتایج بهتری را ارائه می‌دهد درحالی‌که روش خودهمبستگی مکانی محلی عملکرد بهتری را روی شبکه‌های پر پیچ و خم شهری دارد. سلیم<sup>۴</sup> و همکاران (۲۰۰۷) میلادی به بررسی چارچوب استفاده از داده‌کاوی در تحلیل تقاطع‌ها پرداختند. در این تحقیق روش جدیدی جهت بهبود ایمنی در تقاطع با استفاده از ترکیب الگوریتم ریاضی تشخیص تصادف و داده‌کاوی ارائه شده است؛ نتایج این تحقیق نشان می‌دهد که روش ارائه شده به بهبود آگاهی محیطی و درک خودکار تقاطع‌ها کمک می‌کند که به نوبه خود برای افزایش ایمنی در تقاطع‌ها استفاده می‌شود.

روش‌های تشخیص نقاط کانونی رایج به اندازه کافی برای شکل قابل توجهی از الگوهای نقطه‌ای تصادف قوی نیستند چرا که اثرات مکانی داده‌های تصادف مانند خودهمبستگی مکانی را نادیده می‌گیرند. هنگام کار با داده‌های مکان‌مند مانند تصادفات در راه‌های برون‌شهری باید اثرات مکانی بین همسایه‌ها در مکان در نظر گرفته شوند. تحقیقاتی در رابطه با خود همبستگی مکانی از جمله آگرو-والورده و جوانیز<sup>۵</sup> (۲۰۰۶) و لوینه<sup>۶</sup> و همکارانش (۱۹۹۵) و همچنین

چوی<sup>۱</sup> (۲۰۱۰) میلادی به بررسی عوامل تصادف در تقاطع‌ها با روش تحلیل مدل لوجیت<sup>۲</sup>، پرداخت. آمار توصیفی نشان می‌دهد که ۳۶٪ تصادفات وسیله نقلیه موتوری، مربوط به تقاطع‌ها بودند. از ۲۲۶,۷۸۷ تصادف در تقاطع، حدود ۹۶٪، به رانندگان نسبت داده می‌شود. در حالی‌که کمتر از ۳٪ از تصادفات به دلایل محیطی یا وسیله نقلیه نسبت داده می‌شود.

با مروری بر مطالعات گذشته، در موارد زیادی از مدل‌های آماری پواسون و دو جمله‌ای منفی استفاده شده است؛ اما افندیزاده و همکارانش (۱۳۹۰) در تحقیقات خود برای مدل‌سازی تعداد تصادفات در تقاطع‌های چراغدار شهری علاوه بر مدل‌های آماری، شبکه‌های عصبی را نیز مورد استفاده قراردادند و نتایج حاصل از مدل‌های ساخته شده آماری و شبکه عصبی مورد بررسی و مقایسه قرار گرفتند؛ بر اساس این پژوهش ضریب همبستگی برای مدل آماری ۹۵٪ و برای مدل شبکه عصبی ۹۷٪ به دست آمده است. استینبرگن<sup>۳</sup> و همکاران (۲۰۰۴) میلادی روش‌های برآورده تراکم کرنل و خودهمبستگی مکانی را روی شبکه راه‌های شهری و برون‌شهری کشور بلژیک مقایسه کردند. آن‌ها اشاره کردند که در شبکه‌های

4 Salim  
5 Aguero-Valverde and Jovanis  
6 Levine

1 Choi  
2 Logit  
3 Steenberghen

دلیل ناتوانی در ترکیب ابهام ذاتی و نبود صراحت مربوط به نگاشت ابهام‌های تصمیم‌گیرنده‌گان با اعداد دقیق، مورد نقد است [۲۰]. منطق فازی ابزاری توأم‌مند برای حل مسائل وابسته به استدلال، تصمیم‌گیری و استنباط بشری، مهم و غیردقیق است [۲۱].تابع عضویت نوع مثلثی از عدد فازی  $M$  می‌تواند

به صورت رابطه (۱) بیان شود [۲۲].

$$\mu_M(x) = \begin{cases} 0 & x < 1 \\ \frac{x-1}{m-1} & 1 \leq x \leq m \\ \frac{u-x}{u-m} & m \leq x \leq u \\ 0 & x > u \end{cases}$$

رابطه (۱)

جدول (۱) مقادیر مقایسه سلسله‌مراتبی فازی را با در نظر گرفتن متغیرهای زبانی، اهمیت معیارها و گزینه‌ها برای بهبود مقیاس‌دهی ماتریس قضاوت‌ها توصیف می‌کند.

جدول ۱: تبدیل متغیرهای زبانی به فازی [۲۳].

| عدد معکوس                                   | عدد فازی مثلثی                              | متغیر زبانی        |
|---|---|--------------------|
| (1,1,1)                                     | (1,1,1)                                     | اهمیت دقیقاً مساوی |
| ( $\frac{2}{3}, 1, 2$ )                     | ( $\frac{1}{2}, 1, \frac{3}{2}$ )           | اهمیت مساوی        |
| ( $\frac{1}{2}, \frac{2}{3}, 1$ )           | ( $\frac{1}{2}, \frac{3}{2}, 2$ )           | کمی مهم‌تر         |
| ( $\frac{2}{5}, \frac{1}{2}, \frac{2}{3}$ ) | ( $\frac{3}{2}, \frac{2}{3}, \frac{5}{2}$ ) | مهم‌تر             |
| ( $\frac{1}{3}, \frac{2}{5}, \frac{1}{2}$ ) | ( $\frac{2}{3}, \frac{5}{2}, 3$ )           | خیلی مهم‌تر        |
| ( $\frac{2}{7}, \frac{1}{3}, \frac{2}{5}$ ) | ( $\frac{5}{2}, 3, \frac{7}{2}$ )           | به طور کامل مهم‌تر |

بردار وزن شاخص‌ها به صورت رابطه (۲) محاسبه خواهد شد:

$$W = [W(X1), W(X2), \dots, W(Xn)]t$$

رابطه (۲)

که بر اساس رابطه  $W = W_{Ki} / \sum W_{Ki}$  مقدار اوزان نهایی به دست می‌آید [۲۳]. پیاده‌سازی این روش در نرم‌افزار MATLAB انجام شده است.

#### ۴- روش‌های خودهمبستگی مکانی و برآورد تراکم کرنل

ارزیابی روش‌های خودهمبستگی مکانی عمدهاً به وسیله

ناهمگونی<sup>۱</sup> از جمله اردغان<sup>۲</sup> (۲۰۰۹) و هدایقی<sup>۳</sup> (۲۰۱۰) در مورد تصادفات انجام شده است.

تا کنون تحقیقات زیادی به منظور ایجاد ارتباط بین مبحث خوشبندی و تحلیل تصادفات تقاطع‌های برون‌شهری انجام گرفته است. همان‌طور که در پیشینه تحقیق بیان شد؛ برخی از مدل‌های آماری مانند پواسون و دوجمله‌ای منفی برای مدل‌سازی تصادفات در تقاطع‌های برون‌شهری استفاده کرده‌اند. برخی دیگر از خوشبندی غیرآماری و غیرمکانی به عنوان ابزاری جهت تحلیل تصادفات در تقاطع‌های برون‌شهری بهره گرفته‌اند؛ اما روبه‌رو شدن با مسائل تحلیل مکانی تصادفات در تقاطع‌های برون‌شهری و اهمیت سیستم اطلاعات مکانی در تحلیل‌های مکانی سبب می‌شود که در این تحقیق به تحلیل مکان‌مبانی تصادفات پرداخته شود. لذا از بین روش‌های مکان‌مبانی موجود، الگوریتم‌های آماری خود همبستگی مکانی و برآورد تراکم کرنل به دلیل ویژگی‌های آن‌ها انتخاب شدند. در این روش‌ها می‌توان نقاط حادثه خیز را از پایگاه داده بزرگ، با سرعت بالا و به صورت بصری تعیین کرد؛ همچنین این روش‌ها می‌توانند خروجی رضایت‌بخشی را به صورت آماری ارائه دهند. از طرفی به منظور تحلیل دقیق‌تر تصادفات در تقاطع‌های برون‌شهری، از تعداد پارامترهای بیشتری در مقایسه با تحقیقات پیشین، استفاده شده است.

#### ۳- روش سلسله‌مراتبی فازی<sup>۴</sup>

روش فرآیند تحلیل سلسله‌مراتبی<sup>۵</sup> که توسط ساعتی (۱۹۸۰) میلادی ارائه شد، یکی از جامع‌ترین سامانه‌های طراحی شده برای تصمیم‌گیری با معیارهای چندگانه است [۱۹]. به رغم محبوبیت عام، AHP به

1 Heterogeneity

2 Erdogan

3 Hadayeghi

4 Fuzzy Analytical Hierarchy Process (FAHP)

5 Analytical Hierarchy Process (AHP)

است. Z-Value و P-Value با توزیع نرمال استاندارد در ارتباط هستند. Z-Value های خیلی بالا یا خیلی پایین (منفی) همراه با P-Value خیلی کوچک در انتها (دنباله) توزیع نرمال هستند. در این روش به هر عارضه و همسایگی آن به شکل یک عارضه نگاه می‌شود. هر عارضه‌ای که مقدار بالایی داشت نقطه مورد نظر است ولی لزوماً این نقطه یک نقطه کانون نیست. برای اینکه یک نقطه کانون باشد باید خودش مقدار بالایی داشته باشد و همسایگانش نیز مقدار بالایی داشته باشند. مقدار جمع محلی برای هر عارضه و همسایگانش با مقدار میانگین عارضه‌ها مقایسه می‌شود، اختلاف بالای این دو عدد نشانه مهم بودن عارضه است [۲۴].

**جواب  $G_i^*$**  یک Z-Value است. Z-Value انحراف معیار ساده است. مقدار بالا یا پایین انحراف معیار نشان‌دهنده نقاط بحرانی است.

این روش تحلیل، مورد استفاده‌ترین روش برای شناسایی نقاط کانون در بزرگراه‌ها است. آماره‌های  $G_i$  و  $G_i^*$  توسط جتیک<sup>۷</sup> و ارد<sup>۸</sup> (۱۹۹۲) برای مطالعه الگوی محلی داده‌های مکانی معرفی شد و در سال ۱۹۹۵ توسعه داده شد [۲۵]. تعریف آماری «گتیس-ارد جی استار» به شرح رابطه (۳) است. که در آن  $\frac{w_{ij}}{x_j}$  مقدار ویژگی برای عارضه  $j$   $n$  اندازه نمونه و  $w_{ij}$  وزن‌های مکانی بین عارضه‌های  $i$  و  $j$  است. مقدار مثبت این آمار، خوشة مکانی از مقادیر بالا را نشان می‌دهد؛ مقدار منفی، خوشة مکانی از مقادیر پایین را نشان می‌دهد.

تحقیقات انسلین<sup>۱</sup> (۱۹۹۵) و گریفیت<sup>۲</sup> (۲۰۰۸) و موران<sup>۳</sup> (۱۹۴۸) شروع شد. استقلال محلی می‌گوید که موقعیت یک رویداد به دیگری وابستگی ندارد یا اثرات مرتبه دومی وجود ندارد. هنگامی که حوادث وابسته هستند گفته می‌شود که همبستگی مکانی مثبت است. چندین روش برای آزمایش همبستگی مکانی وجود دارد از جمله: گتیس-ارد جی استار، شاخص انسلین محلی موران<sup>۴</sup> و شاخص موران<sup>۵</sup>.

#### ۴-۱- روش خودهمبستگی مکانی گتیس-ارد جی استار

آماره گتیس-ارد جی استار به منظور تحلیل نقاط کانون استفاده می‌شود؛ این روش خروجی‌ای را تولید می‌کند که در آن هر نقطه یا عارضه دارای Z-Value است و محاسبه Z-Value نشان می‌دهد چه ویژگی‌هایی با مقادیر بالا یا پایین در هر مکانی با هم خوشبندی می‌شوند. در این روش P-Value و Z-Value مکان‌هایی را با کلاسه‌بندی مکانی بالا یا پایین نشان می‌دهند. Z-Value بزرگ و P-Value پایین نقاط کانون دهنده خوشبندی مکانی کوچک برای هر نقطه نشان دهنده خوشبندی مکانی P-Value پایین و منفی و Z-Value پایین و منفی است. کوچک نشان دهنده خوشبندی مکانی مقادیر پایین احتمال تولید الگوی مکانی مشاهده شده به وسیله فرایندهای تصادفی است. P-Value خیلی کوچک (احتمال پایین) به این معنا است که الگوی مکانی مشاهده شده نتیجه فرایندهای تصادفی بوده است، بنابراین فرض صفر رد می‌شود [۲۶].

Z-Value شبیه به انحراف معیار ساده است، به طور مثال مقدار  $Z\text{-Value} = \frac{2}{5}$ ، به معنای انحراف معیار

1 Anselin

2 Griffith

3 Moran

4 Getis-ord Gi\*

5 Anselin Local Moran's I

6 Moran's I

$$G_i^*(d) = \frac{\sum_{j=1}^n w_{ij}x_j - \frac{1}{n} \sum_{j=1}^n x_j \sum_{i=1}^n w_{ij}}{\sqrt{\frac{1}{n} \sum_{j=1}^n x_j^2 - \left(\frac{1}{n} \sum_{j=1}^n x_j\right)^2} \times \sqrt{\frac{1}{n-1} \left[ n \sum_{j=1}^n w_{ij}^2 - \left(\sum_{j=1}^n w_{ij}\right)^2 \right]}} \quad (3)$$

شایعی است که بین ۱ و -۱ تعریف شده است. شاخص موران یکی از روش‌های خودهمبستگی است که در زمینه تحلیل الگوهای پراکنش و توزیع عوارض و پدیده‌ها در مکان استفاده می‌شود. این ابزار خودهمبستگی مکانی یکی از کاربردی‌ترین و مهم‌ترین ابزارهای تحلیلی برای تحقیق در مورد داده‌های مکانی است. شاخص موران نشان می‌دهد که آیا خوشبندی در مجموعه داده وجود دارد یا نه؛ رابطه نشان‌دهنده شاخص موران است [۲۷].

$$I = \frac{n \sum_{i=1}^n \sum_{j=1}^n w_{ij} (x_i - \bar{x})(x_j - \bar{x})}{(\sum_{i \neq j} \sum_{j=1}^n w_{ij})(\sum_{i=1}^n (x_i - \bar{x})^2)} \quad (4)$$

در این رابطه  $n$  نشان‌دهنده تعداد رویدادها و  $\bar{x}$  مقدار متوسط کلی برای تعداد رویدادها  $x_i$  و  $x_j$  و  $w_{ij}$  تعداد رویدادها در موقعیت  $i$  و  $j$  است. ماتریس وزن مکانی تعریف شده برای تعیین درجه تأثیرات محلی رویدادها است. از این شاخص بهمنظور بررسی خودهمبستگی مکانی رویدادها استفاده می‌شود. مقدار مثبت برای  $I$  نشان می‌دهد رویدادها دارای خودهمبستگی مکانی هستند. فرمول ریاضی روش‌های  $z$ -score، اهمیت نتایج به دست‌آمده را به وسیله رابطه (۶) آزمایش می‌کند [۲۷]:

$$z = \frac{I_0 - I_E}{SD_{IE}} \quad (6)$$

در رابطه  $z$ ،  $I_0$  و  $I_E$  و  $SD_{IE}$  به ترتیب انحراف مورد انتظار و استاندارد، نشان‌دهنده مشاهدات هستند. در این مطالعه شاخص موران برای آزمایش همبستگی مکانی احتمالی برای تصادفات بهمنظور آزمایش تأثیرات مرتبه دوم داده‌های تصادف استفاده شد و ماتریس وزن مکانی برای فضاهای شبکه‌ای زمانی که تصادفات در فضای شبکه‌ای یک بعدی توزیع شده‌اند، تعریف شد. شاخص محلی Z-Score موران تنها می‌تواند در چارچوب محاسبه  $z$ -Score تفسیر شوند. مقادیر بالای شاخص با خوشبندی از

#### ۴-۲- روش خودهمبستگی مکانی شاخص انسلین محلی موران

با توجه به مجموعه‌ای از عوارض وزن‌دار، ابزارهای تحلیل خوشبندی، نقاط پرت مکانی<sup>۱</sup> و خوشبندی از عوارض را با مقادیر مشابه شناسایی می‌کنند. روش خودهمبستگی مکانی شاخص انسلین محلی موران همچنین خوشبندی از عوارض را با مقادیر بسیار ناهمگن شناسایی می‌کند. برای این کار، ابزار فوق مقدار شاخص محلی موران<sup>۲</sup> و Z-Score را برای هر عارضه محاسبه می‌کند. Z-Score نشان دهنده اهمیت آماری مقدار شاخص محاسبه شده است. مقدار مثبت برای  $I$  خوشبندی مکانی مقادیر مشابه (بالا یا پایین) و مقدار منفی برای شاخص  $I$  خوشبندی مکانی مقادیر غیر مشابه (برای مثال، ناحیه‌ای با مقادیر بالا احاطه شده به وسیله همسایه‌های با مقادیر پایین) را نشان می‌دهد. با استفاده از شاخص انسلین محلی موران می‌توان مشخص کرد که کدام مکان‌های خاص در الگوی کلی خودهمبستگی مکانی سهیم هستند؛ یعنی می‌توان مراکز خوشبندی را به صورت معناداری شناسایی کرد [۲۶]. روش شاخص انسلین محلی موران به صورت رابطه (۴) محاسبه می‌شود:

$$I_i = \frac{x_i - \bar{X}}{S_i^2} \sum_{j=1}^n w_{ij} (x_j - \bar{X}) \quad (4)$$

در فرمول بالا  $x_i$  ویژگی عارضه،  $\bar{X}$  میانگین ویژگی مربوطه و  $w_{ij}$  وزن مکانی بین دو عارضه است.  $S_i$  نشانگر نوع خوشبندی هر عارضه است.

#### ۴-۳- روش خودهمبستگی مکانی شاخص موران

روش خودهمبستگی مکانی شاخص موران روش

1 Spatial Outliers

2 Local Moran's I

که در آن  $K_{\sigma}$  تابع کرنل است.

#### ۵- روش تحقیق

در ابتداء ۶ پارامتر مورد استفاده در این تحقیق به روش سلسه‌مراتبی فازی وزنده‌ی می‌شوند. سپس به‌منظور شناسایی تقاطع‌های حادثه‌خیز و بررسی ویژگی‌های آنها در مسیر رفت و برگشت، توابع خودهمبستگی گتیس-ارد جی استار و شاخص انسلین محلی موران و تابع برآورده تراکم کرنل بر روی پارامترهای ورودی مربوط به مسیر رفت و برگشت اعمال می‌شوند. همچنین به‌منظور بررسی خودهمبستگی مکانی هریک از پارامترهای مورد استفاده در ۵ سال متوالی از تابع شاخص موران استفاده شده است.

#### ۶- منطقه مورد مطالعه و داده‌های مورد استفاده

در این تحقیق مسیر مورد مطالعه محور قدیم کرج-قزوین به طول ۱۰۹ کیلومتر به صورت مسیرهای جداگانه رفت و برگشت است. محور قدیم کرج-قزوین در بین عرض‌های جغرافیایی  $35^{\circ}$  تا  $36^{\circ}$  در  $48^{\circ}$  تا  $51^{\circ}$  شمالی و طول جغرافیایی  $50^{\circ}$  تا  $51^{\circ}$  شرقی قرار دارد. میانگین تصادفات سالیانه این محور ۶۰۰ تصادف فوتی، جرحی و خسارتی است. شروع این محور پل حصارک کرج و پایان آن دروازه تهران ابتدای شهر قزوین است که در شکل (۲) نشان داده شده است. اطلاعات مکانی و توصیفی محور قدیم کرج-قزوین و داده‌های تصادف در بازه زمانی ۵ ساله ۹۲-۸۸ (موقعیت تصادفات با استفاده از GPS از دو پاسگاه پلیس کرج-قزوین و قزوین-کرج ثبت شده بودند) به ترتیب از سازمان راهداری و حمل و نقل جاده‌ای و پلیس راهور اخذ شدند.

مقادیر مشابه همراه (در ارتباط) هستند؛ و مقادیر پایین شاخص با نقاط پر مکانی در ارتباط هستند. این ابزار در علمی مانند اقتصاد، مدیریت منابع، جغرافیای زیستی، جغرافیای سیاسی و جمعیت‌شناسی کاربرد دارد.

#### ۷- روش برآورده تراکم کرنل

روش برآورده تراکم کرنل که به وسیله رزنبلات<sup>۱</sup> (۱۹۵۶) میلادی معرفی شد، توجه قابل ملاحظه‌ای را در برآورده غیرپارامتریک تراکم احتمالی به خود جلب کرده است. برآورده تراکم کرنل روشی محبوب برای تحلیل داده‌های یکبعدی و دو بعدی است. برآورده تراکم اطلاعات مفیدی را در مورد عوارض در داده‌ها ارائه می‌دهد<sup>[۱۰]</sup>. این روش قادر است به سرعت و به صورت بصری نقاط کانون را از پایگاه داده بزرگ شناسایی کرده و در نتیجه خروجی آماری و رضایت‌بخشی را ارائه دهد. مزایای بازنمایش سطحی به خصوص در تصادفات راههای بروون‌شهری این است که آن‌ها می‌توانند مدل پیوسته واقعی‌تری را از الگوهای نقاط کانونی ارائه دهند. در طول این سال‌ها ابزارهای مکانی متفاوتی به‌منظور نمایش سطوح مختلف از جمله تصادفات در راههای بروون‌شهری توسعه یافته است. نویدبخش‌ترین این ابزارها برآورده تراکم کرنل است<sup>[۹]</sup>.

مزایای زیادی در استفاده از برآورده تراکم کرنل وجود دارد که مزیت اصلی این روش خاص، تشخیص گسترش خطر تصادفات است درحالی‌که در خوشبندی، اعضای خوشه دارای درجه‌ای از خطر تصادف هستند که این درجه از خطر با استفاده از روش‌های خوشبندی اندازه‌گیری نخواهد شد. برآورده  $\hat{p}(X)$  از تراکم در  $X$  می‌تواند با استفاده از رابطه (۷)

محاسبه شود:

$$R_i = \hat{p}(X) = \frac{1}{N} \sum_{i=1}^N K_\sigma(X - X_i) \quad \text{رابطه (۷)}$$

<sup>1</sup> Rosenblatt



شكل ۲: مسیر مورد مطالعه، محور قدیم کرج-قزوین

سربالایی / سرپایینی، مستقیم، مسطح)، نوع منطقه  
منظور کوهستانی، تپه ماهور و هموار بودن منطقه  
است) و عامل انسانی (شامل: خستگی و خواب آلودگی،  
عجله و شتاب بی مورد، بی توجهی به مقررات،  
استعمال مواد مخدر، تخلف عمدى و ضعف ناشی از  
کهولت سن) در نظر گرفته شد و پس از مقایسات  
زوجی معیارها و زیر معیارها توسط کارشناسان،  
وزن نهایی آنها به روش سلسله مراتبی فازی به دست  
آمد. نتایج به دست آمده در جدول (۲)  
مشخص شده‌اند.

مسیر مذکور شامل ۲ پاسگاه پلیس راه است که پس از بررسی داده‌ها مشخص گردید، موقعیت تصادفات مربوط به دو پاسگاه پلیس کرج-قزوین و قزوین-تهران است. مس مذکور، دارای ۱۷۹ تقاطع است.

## ۲-۵- وزندگی معيارها و زير معيارها

در این تحقیق ۶ معیار وضعیت جوی (برفی و طوفانی، بارانی، ابری و مهآلود و صاف)، روشنایی (شامل: شب، روز، طلوع و غروب)، نوع تصادف (شامل فوتی، جرحی و خسارتی)، هندسه محل (شامل: پیچ، سرپالایی / سر پایینی، پیچ، مسطح، مستقیم،

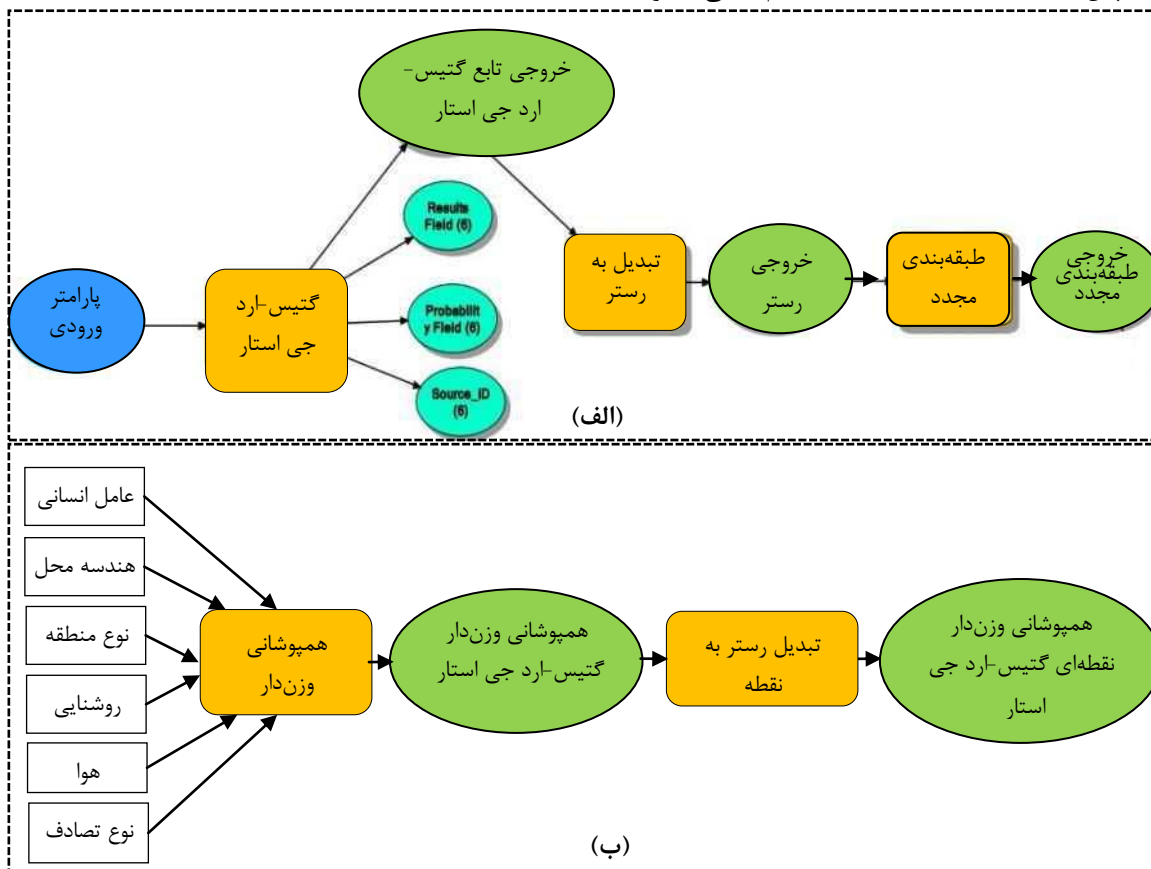
جدول ۲: معیارها و درجه اهمیت آنها و همچنین زیرمعیارها و وزن‌های حاصل از روش سلسله‌مراتبی فازی

| معیارهای نهایی | وزن معیارها | وزن زیرمعیارها  |
|----------------|-------------|---|
| وضعیت جوی      | ۰/۱۸۶۲      | برفی و طوفانی: ۰/۱۹۴۷، بارانی، ابری و مهآلود: ۰/۱۷۷۹، صاف: ۰/۱۱۲۳   |
| نوع تصادف      | ۰/۱۸۶۲      | فوتی: ۰/۴۰۰۹، جرحی: ۰/۳۶۶۱، خسارتی: ۰/۲۳۱۲  |
| روشنایی        | ۰/۱۸۶۲      | شب: ۰/۲۹۳۱، روز: ۰/۱۶۹۰، طلوع، غروب: ۰/۲۶۷۷   |
| نوع منطقه      | ۰/۱۱۷۶      | کوهستان: ۰/۴۰۰۹، تپه ماهور: ۰/۳۶۶۱، هموار: ۰/۲۳۱۲   |
| هندسه محل      | ۰/۱۱۷۶      | پیچ، سربالایی / سرپایینی، پیچ، مسطح: ۰/۲۸۵۹، مستقیم، سربالایی / سرپایینی: ۰/۲۶۱۱، مستقیم، مسطح: ۰/۱۶۴۹  |
| عامل انسانی    | .۰/۲۰۳۹     | خستگی و خوابآلودگی، عجله و شتاب بیمورد، بیتوجهی به مقررات: ۰/۱۷۰۹، سایر: ۰/۱۲۱۲، استعمال مواد مخدر: ۰/۱۲۱۱، تخلف عمدی، ضعف ناشی از کهولت سن: ۰/۰۱۲۹ |

مقادیر Z-Score ها در این مرحله بر اساس اهمیت آن‌ها از عدد ۱ تا ۹ دسته‌بندی می‌شوند که این درجه اهمیت از مقدار ۱ تا ۹ افزایش می‌یابد. سپس همپوشانی حاصل از ورودی‌های مرحله قبل همان‌طور که در شکل (۳-ب) نشان داده شده است با یکدیگر انجام شد. مدل حاصل از مراحل بالا برای مسیر رفت (کرج به قزوین)، همان‌طور که در شکل (۳) نشان داده شده است، در محیط ModelBuilder موجود در ArcGIS به‌دست آمد.

### ۳-۵- پیاده‌سازی تابع خودهمبستگی مکانی گتیس-ارد جی استار، شاخص انسلین محلی موران و تابع برآورد تراکم کرنل

به‌منظور تعیین نقاط کانون حادثه‌خیز به وسیله تابع گتیس-ارد جی استار در مسیر رفت (کرج به قزوین)، همان‌طور که در شکل (۳-الف) نشان داده شده است ابتدا بر روی هریک از پارامترهای ورودی تابع گتیس-ارد جی استار اعمال می‌شود. مرحله بعد نقاط کانون به رستر تبدیل می‌شوند؛ سپس طبقه‌بندی مجدد انجام می‌شود.



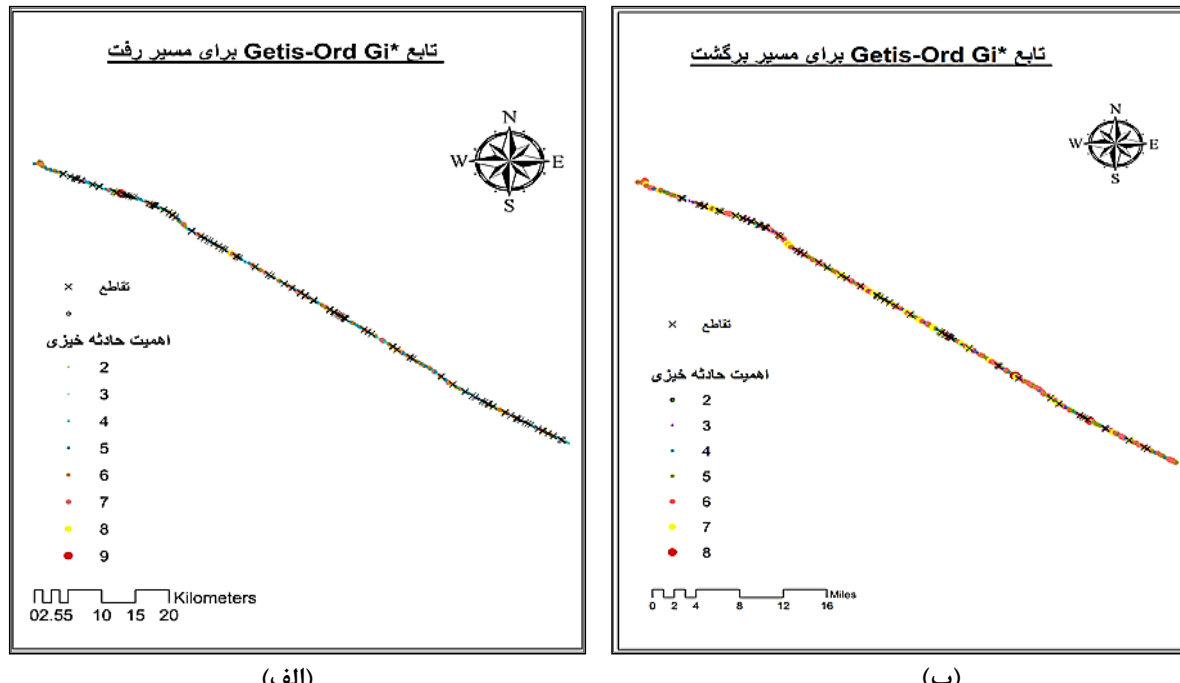
شکل ۳: مدل مربوط به تابع گتیس-ارد جی استار برای مسیر رفت و برگشت در محیط ModelBuilder

به ترتیب خروجی حاصل از همپوشانی ۶ پارامتر هوا، روشنایی، نوع تصادف، هندسه محل، نوع منطقه و عامل انسانی روی مسیر رفت (کرج به قزوین) و برگشت (قزوین به کرج) به همراه تقاطع‌های مسیر رفت و

برای تعیین نقاط کانون به وسیله تابع گتیس-ارد جی استار در مسیر برگشت (قزوین به کرج)، همانند مسیر رفت، عمل می‌شود؛ با این تفاوت که ورودی‌ها مربوط به مسیر برگشت هستند. در شکل (۴-الف و ب)

اهمیت حادثه خیزی آن از رنگ سبز تا رنگ قرمز مشخص شده‌اند.

برگشت به وسیله تابع گتیس-ارد جی استار نشان داده شده است؛ همان‌طور که در شکل (۴) نشان داده شده است موقعیت تصادفات به ترتیب

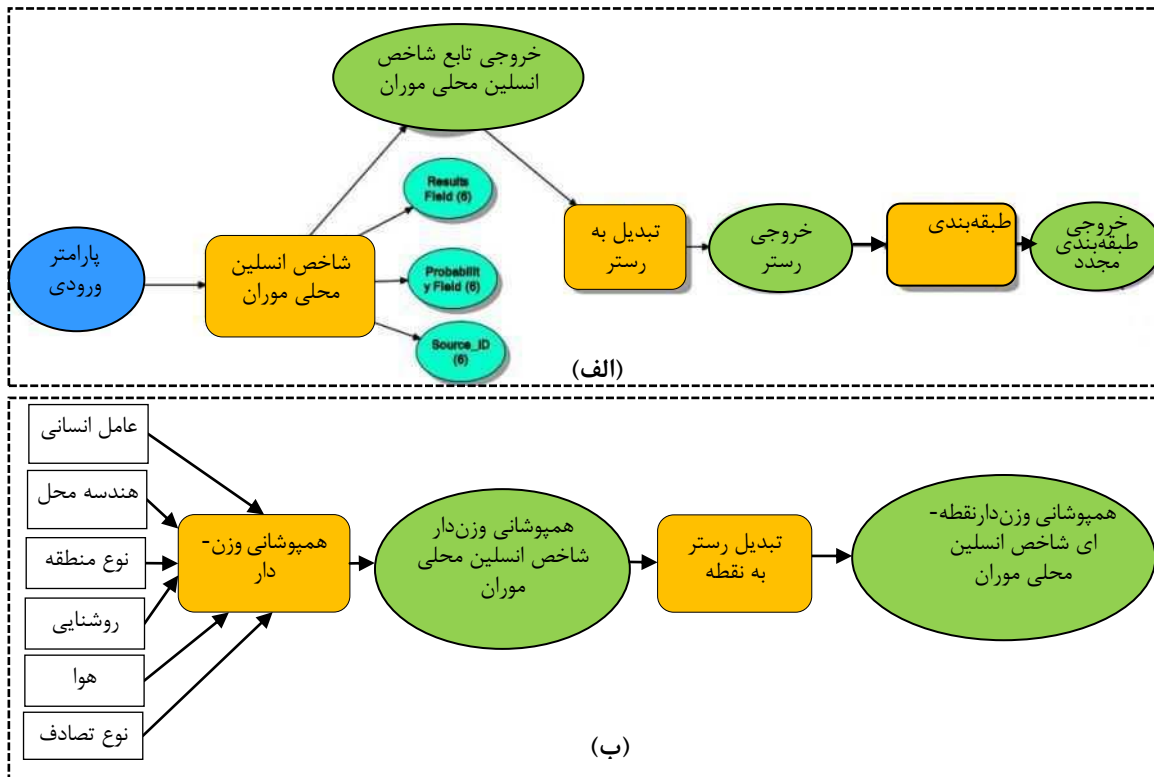


شکل ۴: خروجی حاصل از اعمال تابع گتیس-ارد جی استار بر اساس شش پارامتر هوا، روشنایی، نوع تصادف، هندسه محل، نوع منطقه و عامل انسانی روی تقاطع‌های مسیر: (الف): رفت (کرج به قزوین) و (ب): مسیر برگشت (قزوین به کرج)

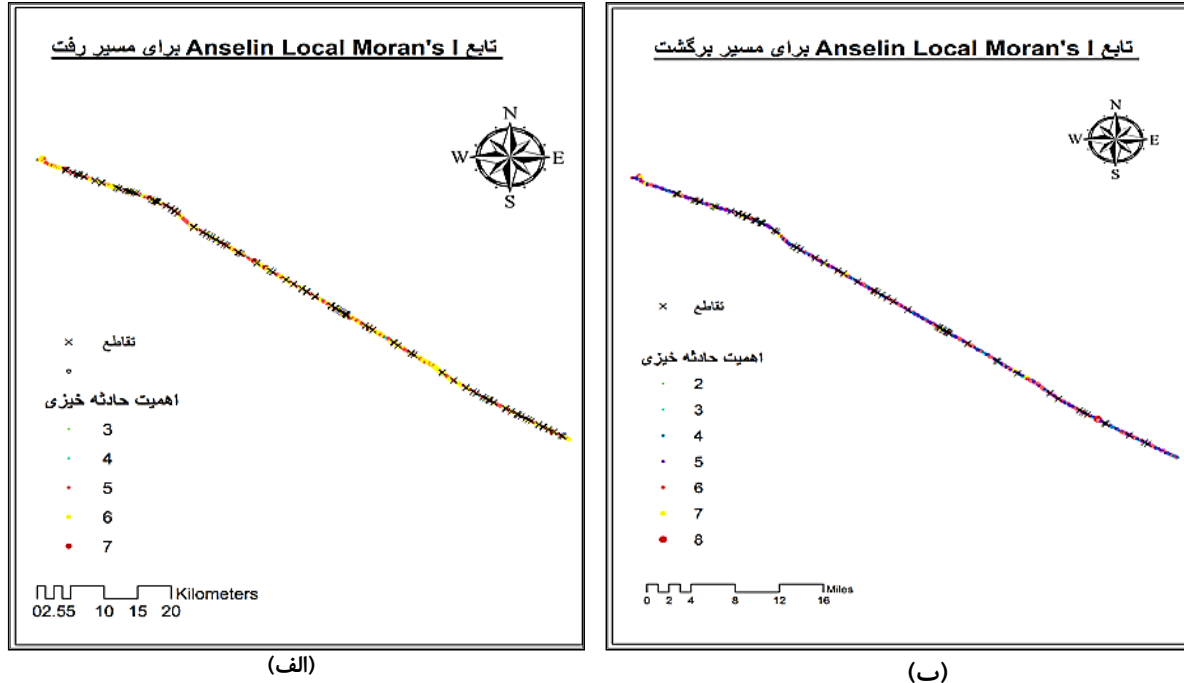
همراه تقاطع‌های مسیر رفت و برگشت به وسیله تابع شاخص انسلین محلی موران نشان داده شده است؛ در شکل (۶) موقعیت تصادفات به ترتیب اهمیت حادثه خیزی آن از رنگ سبز تا رنگ قرمز مشخص شده‌اند.

به منظور تعیین نقاط حادثه خیز با استفاده از تابع شاخص انسلین محلی موران در مسیر رفت و برگشت، همانند روش گتیس-ارد جی استار عمل می‌شود؛ مدل حاصل از این تابع در محیط ModelBuilder در شکل (۵-الف و ب) نشان داده شده است.

در شکل (۶-الف و ب) به ترتیب خروجی حاصل از همپوشانی ۶ پارامتر را بروی مسیر رفت و برگشت به



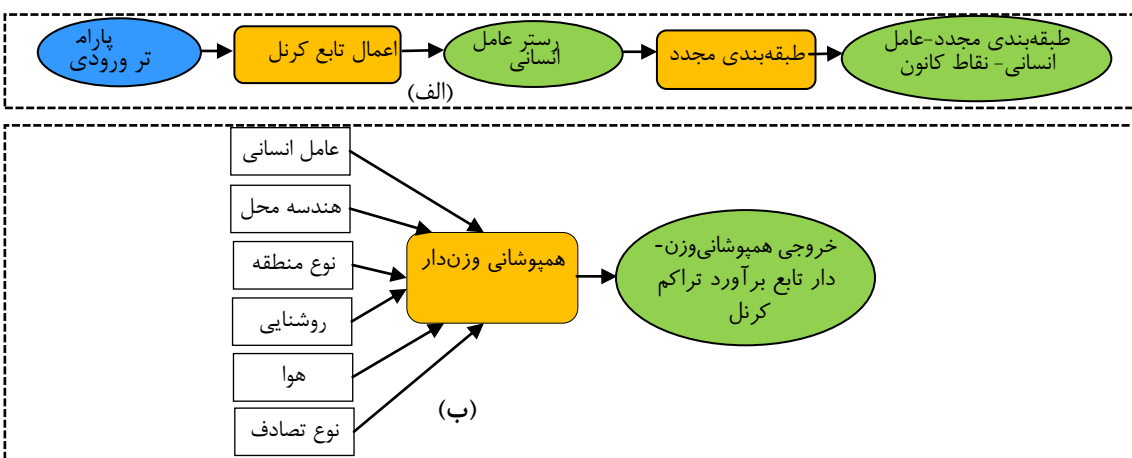
شکل ۵: مدل مربوط به تابع شاخص انسلین محلی موران برای مسیر رفت و برگشت در محیط ModelBuilder



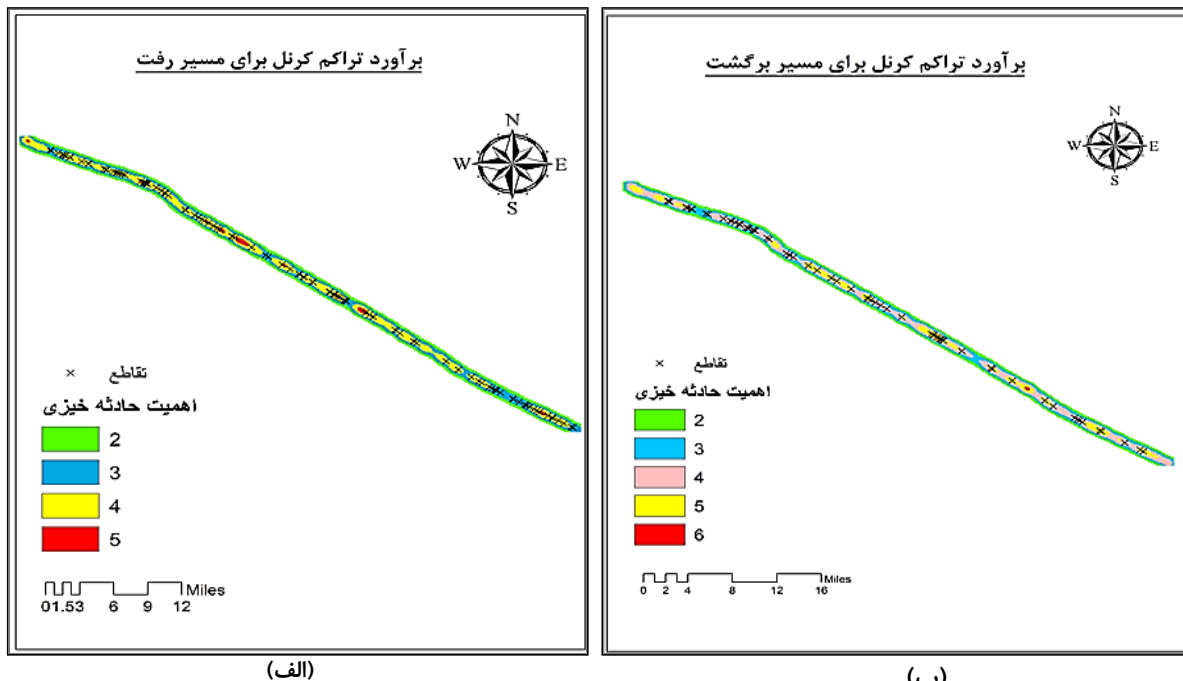
شکل ۶: خروجی حاصل از اعمال تابع شاخص انسلین محلی موران بر اساس شش پارامتر هو، روشنایی، نوع تصادف، هندسه محل، نوع منطقه و عامل انسانی روی تقاطع‌های: (الف): مسیر رفت (کرج به قزوین) و (ب): مسیر برگشت (قزوین به کرج)

اهمیت آن‌ها از ۱ تا ۹ انجام می‌شود که این درجه اهمیت از مقدار ۱ تا ۹ افزایش می‌یابد. در نهایت همپوشانی وزن دار بر روی خروجی‌های حاصل از مرحله قبل صورت می‌گیرد. مدل حاصل از مراحل بالا در محیط ModelBuilder به دست آمد که در شکل ۷-(الف و ب) نشان داده شده است.

به منظور تعیین مناطق مستعد بروز حادثه با تابع کرنل در مسیر رفت و برگشت، ابتدا بر روی هریک از پارامترهای ورودی تابع برآورد کرنل اعمال می‌شود. در شکل ۷-(الف) اعمال روش برآورد تراکم کرنل روی پارامتر ورودی نشان داده شده است. مرحله بعد طبقه‌بندی مجدد بر روی خروجی هر پارامتر بر اساس



شکل ۷: مدل مربوط به تابع برآورد کرنل برای مسیر رفت و برگشت در محیط ModelBuilder



شکل ۸: خروجی حاصل از اعمال تابع برآورد تراکم کرنل بر اساس شش پارامتر هوا، روشنایی، نوع تصادف، هندسه محل، نوع منطقه و عامل انسانی روی تقاطع‌های مسیر برگشت (قزوین به کرج). (الف): مسیر رفت (کرج به قزوین) و (ب): مسیر برگشت (قزوین به کرج).

استفاده شده است. از این رو تابع خودهمبستگی شاخص موران به ترتیب برای هر ۶ پارامتر هوا، روشنایی، نوع تصادف، هندسه محل، نوع منطقه و عامل انسانی در بازه زمانی ۱۳۸۸ تا ۱۳۹۲ برای مسیر رفت و برگشت محاسبه شده است. نتایج به دست آمده برای مسیر رفت در جداول (۳ تا ۸) نشان داده شده است؛ با بررسی مقادیر شاخص موران جداول (۳ تا ۸) مشخص می‌شود که از ۶ پارامتر مورد استفاده، هیچ یک دارای خودهمبستگی مکانی در ۵ سال متولی نیستند.

جدول ۳: تابع همبستگی موران برای پارامتر هوا در ۵ سال متولی ۹۲-۸۸ در مسیر رفت

| سال | Moran's Index | Z-Score   | P-Value   |
|-----|---------------|-----------|-----------|
| ۸۸  | -۰/۰۰۹۵۱۴     | -۰/۱۶۹۵۰۱ | -۰/۸۶۵۴۰۳ |
| ۸۹  | -۰/۰۱۸۶۹۷     | -۰/۰۷۴۲۳۴ | -۰/۹۴۰۸۲۴ |
| ۹۰  | -۰/۰۱۶۱۴۵     | -۰/۱۸۵۴۳۲ | -۰/۰۹۰۷۳۳ |
| ۹۱  | -۰/۱۴۱۴۹۴     | -۱/۶۹۶۰۴۸ | -۰/۰۸۹۸۷۷ |
| ۹۲  | -۰/۰۰۹۹۰۷     | -۰/۱۲۰۹۳۹ | -۰/۹۰۳۷۴  |

جدول ۴: تابع همبستگی موران برای پارامتر نوع تصادف در ۵ سال متولی ۹۲-۸۸ در مسیر رفت

| سال | Moran's Index | Z-Score   | P-Value   |
|-----|---------------|-----------|-----------|
| ۸۸  | -۰/۰۶۱۵۲۳     | -۰/۱۰۵۴۲۱ | -۰/۹۱۶۰۴۲ |
| ۸۹  | -۰/۱۶۹۷۱۵     | -۰/۸۲۶۳۳۳ | -۰/۴۰۸۶۱۵ |
| ۹۰  | -۰/۰۱۸۶۹۵     | -۰/۱۷۵۳۸۳ | -۰/۸۶۰۷۷۹ |
| ۹۱  | -۰/۱۲۶۷۱۲     | -۱/۵۵۰۹۹۸ | -۰/۱۲۰۹۰۲ |
| ۹۲  | -۰/۰۳۹۷۰۸     | -۰/۵۴۸۱۳۱ | -۰/۵۸۳۶۰۲ |

جدول ۵: تابع همبستگی موران برای پارامتر روشنایی در ۵ سال متولی ۹۲-۸۸ در مسیر رفت

| سال | Moran's Index | Z-Score   | P-Value   |
|-----|---------------|-----------|-----------|
| ۸۸  | -۰/۵۹۴۶۲۳     | -۰/۹۵۱۷۸۲ | -۰/۰۵۰۹۶۴ |
| ۸۹  | -۰/۳۲۳۵۹۱     | -۰/۵۶۳۰۵۳ | -۰/۱۱۸۰۴  |
| ۹۰  | -۰/۰۱۸۶۹۵     | -۰/۱۷۵۳۸۳ | -۰/۸۶۰۷۷۹ |
| ۹۱  | -۰/۱۴۳۷۵۳     | -۱/۷۲۳۲۵  | -۰/۰۸۴۸۴۳ |
| ۹۲  | -۰/۰۴۸۸۰۶     | -۰/۶۷۹۴۶۵ | -۰/۴۹۶۸۴۳ |

در شکل (۸-الف و ب) خروجی حاصل از تابع کرنل براساس همپوشانی شش پارامتر ذکر شده به همراه تقاطع‌های مسیر رفت و برگشت، نشان داده شده است. با توجه به این شکل، موقعیت تصادفات به ترتیب اهمیت حادثه‌خیزی آن‌ها از رنگ سبز تا رنگ قرمز مشخص شده‌اند.

#### ۴-۵- پیاده‌سازی تابع خودهمبستگی مکانی شاخص موران

در این قسمت به منظور بررسی وابستگی مکانی هر پارامتر در سال‌های مختلف از شاخص موران

جدول ۳: تابع همبستگی موران برای پارامتر هوا در ۵ سال متولی ۹۲-۸۸ در مسیر رفت

| سال | Moran's Index | Z-Score   | P-Value   |
|-----|---------------|-----------|-----------|
| ۸۸  | -۰/۰۶۱۵۲۳     | -۰/۱۰۵۴۲۱ | -۰/۹۱۶۰۴۲ |
| ۸۹  | -۰/۱۶۹۷۱۵     | -۰/۸۲۶۳۳۳ | -۰/۴۰۸۶۱۵ |
| ۹۰  | -۰/۰۱۸۶۹۵     | -۰/۱۷۵۳۸۳ | -۰/۸۶۰۷۷۹ |
| ۹۱  | -۰/۱۲۶۷۱۲     | -۱/۵۵۰۹۹۸ | -۰/۱۲۰۹۰۲ |
| ۹۲  | -۰/۰۳۹۷۰۸     | -۰/۵۴۸۱۳۱ | -۰/۵۸۳۶۰۲ |

جدول ۴: تابع همبستگی موران برای پارامتر نوع تصادف در ۵ سال متولی ۹۲-۸۸ در مسیر رفت

| سال | Moran's Index | Z-Score   | P-Value   |
|-----|---------------|-----------|-----------|
| ۸۸  | -۰/۰۶۱۵۲۳     | -۰/۱۰۵۴۲۱ | -۰/۹۱۶۰۴۲ |
| ۸۹  | -۰/۱۶۹۷۱۵     | -۰/۸۲۶۳۳۳ | -۰/۴۰۸۶۱۵ |
| ۹۰  | -۰/۰۱۸۶۹۵     | -۰/۱۷۵۳۸۳ | -۰/۸۶۰۷۷۹ |
| ۹۱  | -۰/۱۲۶۷۱۲     | -۱/۵۵۰۹۹۸ | -۰/۱۲۰۹۰۲ |
| ۹۲  | -۰/۰۳۹۷۰۸     | -۰/۵۴۸۱۳۱ | -۰/۵۸۳۶۰۲ |

جدول ۵: تابع همبستگی موران برای پارامتر روشنایی در ۵ سال متولی ۹۲-۸۸ در مسیر رفت

| سال | Moran's Index | Z-Score   | P-Value   |
|-----|---------------|-----------|-----------|
| ۸۸  | -۰/۵۹۴۶۲۳     | -۰/۹۵۱۷۸۲ | -۰/۰۵۰۹۶۴ |
| ۸۹  | -۰/۳۲۳۵۹۱     | -۰/۵۶۳۰۵۳ | -۰/۱۱۸۰۴  |
| ۹۰  | -۰/۰۱۸۶۹۵     | -۰/۱۷۵۳۸۳ | -۰/۸۶۰۷۷۹ |
| ۹۱  | -۰/۱۴۳۷۵۳     | -۱/۷۲۳۲۵  | -۰/۰۸۴۸۴۳ |
| ۹۲  | -۰/۰۴۸۸۰۶     | -۰/۶۷۹۴۶۵ | -۰/۴۹۶۸۴۳ |

جدول ۶: تابع همبستگی موران برای پارامتر نوع منطقه در ۵ سال متوالی ۹۲-۸۸ در مسیر رفت

| سال | Moran's Index | Z-Score   | P-Value  |
|-----|---------------|-----------|----------|
| ۸۸  | -۰/۰۷۳۱۴۵     | -۰/۲۰۲۱۱۱ | ۰/۸۳۹۸۳۰ |
| ۸۹  | ۰/۳۲۳۵۹۱      | ۰/۵۶۳۰۵۳  | ۰/۱۱۸۰۴  |
| ۹۰  | -۰/۰۱۸۶۹۵     | -۰/۱۷۵۳۸۳ | ۰/۸۶۰۷۷۹ |
| ۹۱  | -۰/۱۴۳۷۵۳     | -۱/۷۲۳۲۵  | ۰/۰۸۴۸۴۲ |
| ۹۲  | -۰/۰۴۸۸۰۶     | -۰/۶۷۹۴۶۵ | ۰/۴۹۶۸۴۲ |

جدول ۷: تابع همبستگی موران برای پارامتر هندسه محل در ۵ سال متوالی ۹۲-۸۸ در مسیر رفت

| سال | Moran's Index | Z-Score   | P-Value  |
|-----|---------------|-----------|----------|
| ۸۸  | -۰/۲۶۰۹۱۴     | -۰/۷۹۳۰۵۲ | ۰/۴۲۷۷۴۷ |
| ۸۹  | -۰/۰۰۴۵۱۵     | -۰/۰۰۵۷۳۶ | ۰/۹۹۵۴۲۴ |
| ۹۰  | -۰/۰۰۸۳۷۸     | -۰/۰۷۸۳۴۳ | ۰/۸۹۰۷۷۵ |
| ۹۱  | -۰/۰۰۶۹۲۱     | -۰/۰۶۶۳۴۵ | ۰/۹۴۷۱۰۳ |
| ۹۲  | -۰/۰۴۷۵۴۱     | -۰/۶۶۱۷۴۷ | ۰/۵۰۸۱۳۳ |

جدول ۸: تابع همبستگی موران برای پارامتر عامل انسانی در ۵ سال متوالی ۹۲-۸۸ در مسیر رفت

| سال | Moran's Index | Z-Score   | P-Value  |
|-----|---------------|-----------|----------|
| ۸۸  | -۰/۲۹۵۷۵۷     | -۰/۸۹۲۲۶۷ | ۰/۳۷۲۲۵۰ |
| ۸۹  | ۰/۰۶۳۵۱۴      | ۰/۳۱۷۸۵۵  | ۰/۷۵۰۵۹۵ |
| ۹۰  | -۰/۰۰۹۴۴      | ۰/۰۱۱۶۰۴  | ۰/۹۹۰۷۴۲ |
| ۹۱  | ۰/۰۸۵۹۷۱      | ۱/۰۵۷۹۱۹  | ۰/۲۹۰۰۹۳ |
| ۹۲  | ۰/۰۱۵۰۸۳      | ۰/۲۳۷۸۵۱  | ۰/۸۱۱۹۹۷ |

مشخص می‌شود که تنها پارامتر نوع تصادف دارای وابستگی مکانی در ۵ سال متوالی است؛

جداول (۹ تا ۱۴) نتایج حاصل از تابع خودهمبستگی شاخص موران برای مسیر برگشت را نشان می‌دهند که با توجه به مقادیر شاخص موران به دست آمده

جدول ۹: تابع همبستگی موران برای پارامتر هوا در ۵ سال متوالی ۹۲-۸۸ در مسیر برگشت

| سال | Moran's Index | Z-Score   | P-Value  |
|-----|---------------|-----------|----------|
| ۸۸  | -۰/۱۰۶۲۰۳     | -۱/۱۴۰۰۶۳ | ۰/۲۵۴۲۶۰ |
| ۸۹  | -۰/۰۲۲۲۱۶     | -۰/۱۱۵۲۳۱ | ۰/۹۰۸۲۶۲ |
| ۹۰  | ۰/۳۰۸۳۱۷      | ۱/۵۸۱۲۰۲  | ۰/۱۱۳۸۳۲ |
| ۹۱  | ۰/۰۰۳۲۱۳      | ۰/۰۴۵۶۵۶  | ۰/۹۶۳۵۸۴ |
| ۹۲  | -۰/۰۰۴۶۶۴     | -۰/۰۳۵۷۵۱ | ۰/۹۷۱۴۸۱ |

جدول ۱۰:تابع همبستگی موران برای پارامتر نوع تصادف در ۵ سال متوالی ۹۲-۸۸ در مسیر برگشت

| سال | Moran's Index | Z-Score   | P-Value   |
|-----|---------------|-----------|-----------|
| ۸۸  | -۰/۰۵۶۶۴۱     | -۰/۶۳۲۲۸۰ | -۰/۵۲۷۲۰۴ |
| ۸۹  | -۰/۰۳۴۹۶۳     | -۰/۲۲۱۵۶۷ | -۰/۸۲۴۶۵۱ |
| ۹۰  | -۰/۰۸۴۲۵۵     | -۰/۴۵۰۶۲۸ | -۰/۶۵۲۲۵۸ |
| ۹۱  | -۰/۰۶۵۱۹۳     | -۰/۵۸۶۵۲۲ | -۰/۵۵۷۵۲۵ |
| ۹۲  | -۰/۱۸۷۲۱۱     | -۲/۰۰۸۶۸۲ | -۰/۰۴۴۵۷۱ |

جدول ۱۱:تابع همبستگی موران برای پارامتر روشنایی در ۵ سال متوالی ۹۲-۸۸ در مسیر برگشت

| سال | Moran's Index | Z-Score   | P-Value   |
|-----|---------------|-----------|-----------|
| ۸۸  | -۰/۰۲۰۶۱۲     | -۰/۲۴۱۲۹۵ | -۰/۸۰۹۳۲۷ |
| ۸۹  | -۰/۱۶۵۷۸۲     | -۰/۹۴۷۵۹۱ | -۰/۳۴۳۳۳۸ |
| ۹۰  | -۰/۳۹۷۳۴۵     | -۲/۰۲۶۱۶۵ | -۰/۰۴۲۷۴۸ |
| ۹۱  | -۰/۰۹۳۹۸۶     | -۰/۸۰۴۹۷۴ | -۰/۴۲۰۸۳۵ |
| ۹۲  | -۰/۰۸۸۳۰۹     | -۰/۹۵۴۷۳۹ | -۰/۳۳۹۷۱۰ |

جدول ۱۲:تابع همبستگی موران برای پارامتر نوع منطقه در ۵ سال متوالی ۹۲-۸۸ در مسیر برگشت

| سال | Moran's Index | Z-Score   | P-Value   |
|-----|---------------|-----------|-----------|
| ۸۸  | -۰/۰۷۳۱۴۵     | -۰/۲۰۲۱۱۱ | -۰/۸۳۹۸۳۰ |
| ۸۹  | -۰/۱۷۷۲۵۴     | -۱/۰۱۰۲۲۳ | -۰/۳۱۲۳۸۸ |
| ۹۰  | -۰/۲۳۰۷۴۰     | -۱/۱۸۷۵۹۳ | -۰/۲۲۴۹۹۴ |
| ۹۱  | -۰/۰۷۵۹۹۸     | -۰/۶۸۲۹۳۳ | -۰/۴۹۴۶۴۹ |
| ۹۲  | -۰/۲۴۲۱۷۲     | -۲/۶۲۹۲۳۳ | -۰/۰۰۸۵۵۸ |

جدول ۱۳:تابع همبستگی موران برای پارامتر هندسه محل در ۵ سال متوالی ۹۲-۸۸ در مسیر برگشت

| سال | Moran's Index | Z-Score   | P-Value   |
|-----|---------------|-----------|-----------|
| ۸۸  | -۰/۰۴۵۰۱۱     | -۰/۴۷۱۴۵۹ | -۰/۶۳۷۳۱۲ |
| ۸۹  | -۰/۰۲۷۷۲۰     | -۰/۱۴۶۹۸۴ | -۰/۸۸۳۱۴۵ |
| ۹۰  | -۰/۱۰۰۹۳۶     | -۰/۵۳۵۹۲۴ | -۰/۵۹۲۰۱۱ |
| ۹۱  | -۰/۰۷۳۹۳۰     | -۰/۶۶۴۹۴۰ | -۰/۵۰۶۰۸۹ |
| ۹۲  | -۰/۰۶۱۵۲۲     | -۰/۶۷۱۹۸۶ | -۰/۵۰۱۵۹۳ |

جدول ۱۴: تابع همبستگی موران برای پارامتر عامل انسانی در ۵ سال متولی ۹۲-۸۸ در مسیر برگشت

| سال | Moran's Index | Z-Score    | P-Value  |
|-----|---------------|------------|----------|
| ۸۸  | -۰/۱۳۴۸۴۸     | -۱/۴۵۳۷۵۷  | ۰/۱۴۶۰۱۴ |
| ۸۹  | -۰/۱۳۷۸۸۲     | -۰/۷۸۲۰۸۷  | ۰/۴۳۴۱۶۳ |
| ۹۰  | ۰/۰۶۲۶۷۸      | ۰/۳۴۲۵۱۳   | ۰/۷۳۱۹۶۵ |
| ۹۱  | -۰/۱۶۸۰۳۹     | -۱/۴۵۰۹۷۳  | ۰/۱۴۶۷۸۸ |
| ۹۲  | -۰/۱۹۴۳۵۰     | -۲/۰۵۲۹۹۸۵ | ۰/۰۴۰۰۷۴ |

شاخص انسلین محلی موران به ترتیب ۱ و ۷ نقطه و تعداد مناطق حادثه خیز برای تابع برآورد تراکم کرنل ۹ منطقه به دست آمد.

درجه اهمیت از لحظه حادثه خیزی در مسیر برگشت برای توابع گتیس-ارد جی استار، شاخص انسلین محلی موران و برآورد تراکم کرنل به ترتیب بین ۲ تا ۸، ۲ تا ۸ و ۲ تا ۶ به دست آمد. لذا برای توابع خودهمبستگی مسیر برگشت، نقاط با ارزش ۸، حادثه خیزترین نقاط و برای تابع برآورد تراکم کرنل مناطق با ارزش ۶ حادثه خیزترین منطقه نسبت به بقیه هستند. تعداد حادثه خیزترین نقاط مسیر برگشت برای توابع خودهمبستگی گتیس-ارد جی استار و شاخص انسلین محلی موران به ترتیب ۳ و ۱ نقطه به دست آمد و تعداد مناطق حادثه خیز برای تابع برآورد تراکم کرنل ۳ منطقه به دست آمد.

پس از شناسایی تقاطع‌های حادثه خیز در نهایت از ۱۱۱ تقاطع موجود در مسیر رفت و ۶۸ تقاطع در مسیر برگشت، ۲۶ تقاطع حادثه خیز برای مسیر رفت و ۱۰ تقاطع حادثه خیز برای مسیر برگشت توسط توابع خودهمبستگی گتیس-ارد جی استار، شاخص انسلین محلی موران و برآورد تراکم کرنل شناسایی شدند که از این تعداد توابع گتیس-ارد جی استار، شاخص انسلین محلی موران و برآورد کرنل به ترتیب ۳، ۲ و ۲۱ تقاطع حادثه خیز برای مسیر رفت و برای مسیر برگشت به ترتیب ۴ و ۵ تقاطع حادثه خیز شناسایی کردند.

اطلاعات موجود از ویژگی‌های تقاطع‌های محور

#### ۶- ارزیابی نتایج

به منظور شناسایی تقاطع‌های حادثه خیز با استفاده از توابع خودهمبستگی گتیس-ارد جی استار، شاخص انسلین محلی موران و برآورد تراکم کرنل، ابتدا حادثه خیزترین نقاط در تابع خودهمبستگی و حادثه خیزترین مناطق در تابع برآورد تراکم کرنل مشخص شدند؛ سپس با توجه به فاصله مؤثر تقاطع که ۱۰۰ متر است [۲۸]، با فاصله ۱۰۰ متر از این نقاط برای توابع خودهمبستگی تعیین شد؛ در نهایت تقاطع‌هایی که داخل این بافر قرار گرفتند به عنوان تقاطع‌های حادثه خیز شناسایی شدند؛ برای تابع برآورد تراکم کرنل، تقاطع‌هایی که در حادثه خیزترین مناطق قرار گرفتند به عنوان تقاطع‌های حادثه خیز شناسایی شدند. با توجه به خروجی‌های حاصل از توابع خودهمبستگی گتیس-ارد جی استار، شاخص انسلین محلی موران و برآورد تراکم کرنل که در شکل‌های (۴، ۶ و ۸) نشان داده شده است؛ درجه اهمیت از لحظه خیزی برای توابع گتیس-ارد جی استار، شاخص انسلین محلی موران و برآورد تراکم کرنل در مسیر رفت به ترتیب بین ۲ تا ۳، ۹ تا ۲ و ۲ تا ۵ به دست آمد؛ از این رو برای توابع خودهمبستگی، نقاط با ارزش ۹ و ۷ حادثه خیزترین نقاط نسبت به بقیه و برای تابع برآورد تراکم کرنل، مناطق با ارزش ۵ حادثه خیزترین مناطق نسبت به دیگر مناطق هستند. از طرفی تعداد حادثه خیزترین نقاط مسیر رفت برای توابع خودهمبستگی گتیس-ارد جی استار و

- ۱۴) و ۱۶) تقاطع بدون چراغ روشتابی (٪۵۴) هستند.
۴. سرعت‌گیر: ۲۲) تقاطع بدون سرعت‌گیر (٪۸۵) و ۴) تقاطع دارای سرعت‌گیر (٪۱۵) هستند.
۵. خطکشی: ۱۹) تقاطع بدون خطکشی (٪۷۳) و ۷) تقاطع دارای خطکشی (٪۲۷) هستند.
۶. عوارض کنار تقاطع: ۱۸) تقاطع دارای عوارض کناری ساختمان (٪۶۹) و ۸) تقاطع دارای عوارض کناری زمین (٪۳۱) هستند.
۷. درجه‌بندی تقاطع: ۱۷) تقاطع درجه‌بندی ۱ (٪۶۵)، ۷) تقاطع درجه‌بندی ۲ (٪۲۷) و ۲) تقاطع درجه‌بندی ۳ (٪۸) هستند.
- اطلاعات مربوط به ویژگی‌های حادثه‌خیزترین تقاطع‌ها برای مسیر رفت در جدول (۱۵) به طور خلاصه آورده شده است.

جدول ۱۵: اطلاعات مربوط به ویژگی‌های ۲۶) تقاطع حادثه‌خیز شناسایی شده برای مسیر رفت

| نوع تقاطع          | چراغ راهنمایی رانندگی | روشنایی | سرعت‌گیر                    | خطکشی               | عوارض کناری                                | درجه‌بندی تقاطع               |
|--------------------|-----------------------|---------|-----------------------------|---------------------|--|-------------------------------|
| ۲۱) سه‌راه         | (٪۴۲)                 | (٪۸۱)   | ۱۱) تقاطع: چراغدار          | ۱۲) تقاطع: چراغ     | ۱۸) تقاطع: دارای عوارض کناری ساختمان (٪۶۹) | -۱۷) تقاطع: درجه‌بندی ۱ (٪۶۵) |
| ۱۵) میدان          | (٪۱۹)                 | (٪۵۸)   | ۱۴) تقاطع: چراغ             | ۷) تقاطع: دارای خط- | ۸) تقاطع: دارای عوارض کناری زمین (٪۳۱)     | ۷) تقاطع درجه‌بندی ۲ (٪۲۷)    |
| ۱۰) اورده شده است: |                       |         | ۱۶) تقاطع: درجه‌بندی ۳ (٪۸) | ۴) تقاطع: چراغ      | ۱۹) تقاطع: دارای عوارض کناری ساختمان (٪۷۳) | ۲) تقاطع: درجه‌بندی ۳ (٪۸)    |

- نوع تقاطع: هر ۱۰ (٪۱۰۰) تقاطع حادثه‌خیز مسیر برگشت سه راه هستند.
- چراغ راهنمایی رانندگی: ۴) تقاطع دارای چراغ (٪۴۰) و ۶) تقاطع بدون چراغ (٪۶۰) هستند.

مورود بررسی شامل نوع تقاطع، چراغ راهنمایی رانندگی، روشنایی، سرعت‌گیر، خطکشی، عوارض کنار تقاطع و درجه‌بندی تقاطع هستند. درجه‌بندی تقاطع‌ها بر اساس ترافیک تقاطع مورد نظر تعیین شد؛ به عبارتی تقاطع‌های مورد نظر از نظر ترافیک به صورت درجه ۱، درجه ۲ و درجه ۳ دسته‌بندی شدند و اهمیت تقاطع درجه ۱ از لحاظ ترافیک بیشتر از تقاطع درجه ۲ و همچنین درجه ۳ است.

اطلاعات مربوط به ویژگی‌های ۲۶) تقاطع حادثه‌خیز شناسایی شده برای مسیر رفت به صورت زیر به دست آمده‌اند:

- نوع تقاطع: ۲۱) تقاطع سه راه هستند (٪۸۱) و ۵) تقاطع میدان (٪۱۹) هستند.
- چراغ راهنمایی رانندگی: ۱۱) تقاطع چراغدار (٪۴۲) و ۱۵) تقاطع بدون چراغ (٪۵۸) هستند.
- روشنایی: ۱۲) تقاطع دارای چراغ روشنایی

۶. عوارض کنار تقاطع: ۷ تقاطع دارای عوارض کناری ساختمان (٪۷۰) و ۳ تقاطع دارای عوارض کناری زمین (٪۳۰) هستند.
۷. درجه‌بندی تقاطع: ۹ تقاطع درجه‌بندی ۱ دارند (٪۹۰) و ۱ تقاطع درجه‌بندی ۳ (٪۱۰) دارد.

۳. روشنایی: ۵ تقاطع دارای چراغ روشنایی (٪۵۰) و ۵ تقاطع بدون چراغ روشنایی (٪۵۰) هستند.
۴. سرعت‌گیر: ۸ تقاطع بدون سرعت‌گیر (٪۸۰) و ۲ تقاطع دارای سرعت‌گیر (٪۲۰) هستند.
۵. خط‌کشی: ۸ تقاطع بدون خط‌کشی (٪۸۰) و ۲ تقاطع دارای خط‌کشی (٪۲۰) هستند.

جدول ۱۶: اطلاعات مربوط به ویژگی‌های ۱۰ تقاطع حادثه‌خیز شناسایی شده برای مسیر برگشت

| نوع تقاطع                        | راهنمایی رانندگی         | چراغ روشنایی                      | سرعت‌گیر                     | خط‌کشی                                   | عوارض کناری                | درجه‌بندی تقاطع             |
|----------------------------------|--------------------------|-----------------------------------|------------------------------|--|----------------------------|-----------------------------|
| ۱۰ تقاطع: سهراه (٪۱۰۰)           | ۴ تقاطع: چراغدار (٪۴۰)   | ۵ تقاطع: دارای چراغ روشنایی (٪۵۰) | ۸ تقاطع: بدون سرعت‌گیر (٪۸۰) | ۷ تقاطع: دارای عوارض کناری ساختمان (٪۷۰) | ۹ تقاطع: درجه‌بندی ۱ (٪۹۰) | ۱۰ تقاطع: درجه‌بندی ۱ (٪۹۰) |
| هیچ تقاطعی میدان یا چهارراه نیست | ۶ تقاطع: بدون چراغ (٪۶۰) | ۵ تقاطع: دارای چراغ روشنایی (٪۵۰) | ۲ تقاطع: دارای خط-کشی (٪۲۰)  | ۳ تقاطع: دارای عوارض کناری زمین (٪۳۰)    | ۱ تقاطع: درجه‌بندی ۳ (٪۱۰) | ۱ تقاطع: درجه‌بندی ۳ (٪۱۰)  |

۱۰ تقاطع حادثه‌خیز برای مسیر برگشت شناسایی شدند. بر اساس ویژگی‌های تقاطع‌های حادثه‌خیز به دست آمده برای مسیر رفت و برگشت، مشخص شد در صد بالایی از آنها جز تقاطع‌های سهراه، بدون سرعت‌گیر، بدون خط‌کشی، درجه‌بندی ۱ و دارای عوارض کناری ساختمانی می‌باشند. بر این اساس مهمترین عوامل حادثه‌خیزی تقاطع‌ها در مسیر رفت و برگشت عبارت‌اند از: رتبه اول در حادثه‌خیزی تقاطع‌ها: عدم وجود سرعت‌گیر و وجود عوارض کناری ساختمان در تقاطع‌ها، رتبه دوم در حادثه‌خیزی تقاطع‌ها: عدم وجود چراغ روشنایی در تقاطع‌ها، رتبه سوم در حادثه‌خیزی تقاطع‌ها: عدم وجود چراغ راهنمایی رانندگی و عدم وجود خط‌کشی در تقاطع‌ها. با توجه به نتایج بالا پیشنهاد می‌شود که از سرعت‌گیر

#### ۷- نتیجه‌گیری و پیشنهادها

در این تحقیق به منظور تحلیل تصادفات در تقاطع‌های برون‌شهری با روش‌های مکان‌مبنای از ۶ معیار وضعیت جوی، عامل انسانی، نوع تصادف، روشنایی، نوع منطقه و هندسه محل استفاده شد و به منظور وزنده‌ی آن‌ها با توجه به عدم قطعیت در بیان اهمیت معیارها از روش سلسله مراتبی فازی استفاده شد. سپس به منظور شناسایی تقاطع‌های حادثه‌خیز و بررسی ویژگی‌های آن‌ها از توابع خودهمبستگی گتیس-ارد جی استار، شاخص انسلین محلی موران و تابع برآورد تراکم کرنل استفاده گردید. نتایج حاصل نشان می‌دهند که از مجموع ۱۱۱ تقاطع برای مسیر رفت و ۶۸ تقاطع در مسیر برگشت، ۲۶ تقاطع حادثه‌خیز برای مسیر رفت و

نوع تصادف در مسیر برگشت، تصادفات دارای الگوی خوش‌های هستند و این نتیجه‌گیری نشان‌دهنده رابطه مستقیم پارامترهای نوع تصادف و موقعیت تصادف در ۵ سال متولی است.

با توجه به اینکه تصادف یک پدیده مکان‌مند است؛ از این‌رو تحلیل‌های تصادفات در راههای برون‌شهری بر مبنای GIS می‌توانند کمک شایانی در شناسایی مناطق مستعد بروز حادثه نمایند.

### سپاسگزاری

در انتهای از کارشناسان محترم پلیس راهور ناجا و همچنین کارشناسان محترم سازمان راهداری و حمل و نقل جاده‌ای به ویژه آقایان مهندس نجفی و مهندس بیابانی به دلیل در اختیار گذاشتن داده‌ها و راهنمایی‌های تخصصی ارزشمندانه کمال تشکر را داریم.

در تقاطع‌ها به دلیل اهمیت آن‌ها استفاده شود. چراغ روشنایی بعد از سرعت‌گیر نقش مهمی در حادثه‌خیزی تقاطع‌ها دارد بنابراین نیاز است که در تقاطع‌ها از چراغ روشنایی استفاده شود. همچنین وجود چراغ راهنمایی رانندگی و وجود خط‌کشی در کاهش حادثه‌خیزی تقاطع‌ها مؤثر است.

همچنین بهمنظور بررسی خودهمبستگی مکانی هر پارامتر در سال‌های مختلف از تابع شاخص موران استفاده شد. بر اساس شاخص‌های موران به دست آمده برای هر پارامتر در مسیر رفت و برگشت مشخص شد که در مسیر رفت هیچ‌کدام از پارامترها و در مسیر برگشت فقط پارامتر نوع تصادف دارای خودهمبستگی مکانی در ۵ سال متولی بودند. به عبارتی، تنها بین نوع تصادفاتی که اتفاق افتاده است با زمان وقوع آنها وابستگی مکانی وجود دارد و بقیه پارامترها دارای وابستگی مکانی در زمان‌های مختلف نمی‌باشند. به عبارت دیگر از لحاظ پارامتر

### مراجع

- [1] Panning Assistant, Office of the Information and Communication Technology, *Statistical Yearbook of toll and road transport*. Tehran, 2012.
- [2] K. Narjeh, *The international community concerned about road safety*. Tehran: Etelaat, 2012.
- [3] R. C. Smith, D. L. Harkey, and B. Harris, *Implementation of GIS-based highway safety analyses: bridging the gap*. Prepared for the Federal Highway Administration, U.S. Department of Transportation, 2001.
- [4] H. Sajadi, "Analysis of road accidents in GIS with emphasis on road properties and environment", Msc Thesis, Faculty of Earth Sciences, Department of Remote Sensing and GIS, Shahid Beheshti university, Tehran, 2010.
- [5] A. Zayerzadeh, "Analysis of the country's main road network hot spots (North Khorasan important hot spots)", Msc Thesis, Surveying and Geomatics Engineering, College of Engineering, Tehran University, Tehran, 2006.

[6] E.-H. Choi, Crash factors in intersection-related crashes: An on-scene perspective. U.S. Department of Transportation National Highway Traffic Safety Administration: CreateSpace Independent Publishing Platform, 2010.

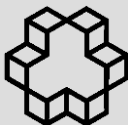
[7] H. Salkapuram, "A New Approach to Identify the Expected Crash Patterns based on Signalized Intersection Size and Analysis of Vehicle Movements", MSc Thesis, University of Central Florida Orlando, Florida, 2006.

[8] M. Goudarzy, "Spatio-temporal clustering of events point on the road network resource allocation", Msc Thesis, Surveying and Geomatics Engineering, College of Engineering, Tehran University, 2013.

[9] C. E. Sabel, S. Kingham, A. Nicholson, and P. Bartie, "Road Traffic Accident Simulation Modelling-A Kernel Estimation Approach", in The 17th Annual Colloquium of the Spatial Information Research Centre University of Otago, Dunedin, New Zealand, 2005.

[10] T. Duong, "Feature significance for

- multivariate kernel density estimation", Arianna Cowling, Wand School of Mathematics & Statistics University, New South Wales Sydney, Australia, vol. 52, pp. 4225-4242, 2007.
- [11] D.-G. Kim, Y. Lee, S. Washington, and K. Choi, "Modeling crash outcome probabilities at rural intersections: Application of hierarchical binomial logistic models", Accident Analysis & Prevention, vol. 39, pp. 125-134, 2007.
- [12] W. R. Association, Road safety manual: recommendations from the World Road Association (PIARC). United States: Route2 Market, 2003.
- [13] M. Motamed, "Modeling traffic accidents to improve safety using advanced statistical methods", Msc Thesis, Faculty of Geodesy & Geomatics Engineering, K. N. Toosi University of Technology, 2010.
- [14] M. Hajihoseeinlou and N. Aslani, "Determine potential risk factor for road traffic offenses by drivers", presented at the International Conference and road traffic accidents, Tehran, 2005.
- [15] M. Effati, M. A. Rajabi, F. Hakimpour, and S. Shabani, "Analysis of Spatial Factors Contributing on Concentration of Highway Corridors Crashes Using GIS and Data Mining", Geomatics Science and Technology, vol. 4, pp. 87-102, 2014.
- [16] M. Effati, "Predictions accident-prone vehicles uses data mining in Geographic Information System", PhD Thesis, Surveying and Geomatics Engineering, College of Engineering, tehran university, 2015.
- [17] M .Salmani, "The Survey of More Important Factors Effecting on Road Accidents and Presenting Some Ways to Increase Them, Case Study: Rural Area of Khor & Beyabanak", Human Geography Research Quarterly, vol. 40, pp. 87-104, 2009.
- [18] M. Ghodsinejad, "Design and implementation of a Ontology - based Spatial web service", Msc Thesis, Faculty of Geodesy & Geomatics Engineering, K. N. Toosi University of Technology, 2013.
- [19] H. Ghodsipour, Analytical Hierarchy Process (AHP). Tehran: Amirkabir University of Technology, 2009.
- [20] H. Deng, "Multicriteria analysis with fuzzy pairwise comparisons", International Journal of Approximate Reasoning, vol. 21, pp. 215-231, 1999.
- [21] A. Kourepazan, *Principles of fuzzy set theory and its application in modeling engineering problems of water*. tehran: Amirkabir University of Technology, 2009.
- [22] S. Önüt, T. Efendigil, and S. Soner Kara, "A combined fuzzy MCDM approach for selecting shopping center site: An example from Istanbul, Turkey", Expert Systems with Applications, vol. 3, pp. 1973-1980, 2010.
- [23] H. T. Abdelwahab and M. A. Abdel-Aty, "Development of artificial neural network models to predict driver injury severity in traffic accidents at signalized intersections", Transportation Research Record: Journal of the Transportation Research Board, vol. 1746, pp. 6-13, 2001.
- [24] D. A. Griffith, "Spatial-filtering-based contributions to a critique of geographically weighted regression (GWR)", Environment and planning, vol. 40, p. 2751, 2008.
- [25] T. Steenberghen, T. Dufays, I. Thomas, and B. Flahaut, "Intra-urban location and clustering of road accidents using GIS: a Belgian example", International Journal of Geographical Information Science, vol. 18, pp. 169-181, 2004.
- [26] L. Anselin, "Local indicators of spatial association—LISA", Geographical analysis, vol. 27, pp. 93-115, 1995.
- [27] P. A. Moran, "The interpretation of statistical maps", Journal of the Royal Statistical Society. Series B (Methodological), vol. 10, pp. 243-251, 1948.
- [28] A. Zafari, "Comparison of hot spot conditions in some European countries and Iran", Rahvar Scientific-Promotion Quarterly, vol. 9, pp. 11-30, 2013.



## Spatial Analysis of Accidents at the Suburban Intersections Using Kernel Density Estimation and Spatial Autocorrelation Methods

Saye Zeynali<sup>\*</sup><sup>1</sup>, Farhad Hosseinali<sup>2</sup>, Abolghasem Sadeghi Niaraki<sup>3</sup>, Mohammad Kazemi Beydokhti<sup>4</sup>, Meysam Effati<sup>5</sup>

- 1- Master student - Department of Geospatial information system Engineering - Civil Engineering Faculty, Shahid Rajaee Teacher Training University- Lavizan Ave, Tehran, Iran  
2- Assistant Prof. - Department of Geospatial information system Engineering - Civil Engineering Faculty, Shahid Rajaee Teacher Training University- Lavizan Ave, Tehran, Iran  
3-Assistant Prof. and a member of Center of Excellence in Geospatial Information Technology - Department of Geospatial information system (GIS) Engineering - Geomatics Engineering Faculty, K.N.Toosi University of Technology - 470 Mirdamad Ave. West, Tehran, Iran  
4- Department of Surveying and Geomatic Engineering, College of Engineering, University of Tehran, Tehran, Iran- mohammad\_kazemi@ut.ac.ir  
5- Assistant Prof., Department of Civil Engineering, Faculty of Engineering the University of Guilan, Iran

### Abstract

Today, the high number of the rural road accidents has shown that accidents at intersections organize high percentage of the total number of accidents. Meanwhile, the geographical information system (GIS) is considered as an appropriate tool for doing spatial analysis and analysis of accidents at intersections. Also, considering that the accident data are massive and non-homogenized, the methods of spatial autocorrelation and kernel estimation can present connected and more real models than samples of current spots in rural road accidents. The purpose of this research is spatial analysis of rural road accidents based on rural intersection or utilizing spatial autocorrelation methods and estimation of kernel density. In the first stage, it considers appropriate criteria for spatial analysis of accidents in the old roads of Karaj-Qazvin in the 1388-1392 periods and were weighted by use of fuzzy analytic hierarchy process. Then, to identify accident prone intersections and investigation of their characteristics from autocorrelation functions of Getis-Ord Gi\*, Anselin Local Moran's I and the kernel density estimation was used in order to investigate the spatial autocorrelation, each of the useable parameters in five successive years used as a Moran's I function. The results have shown that there are 26 accident-prone intersections towards Karaj-Qazvin path and 10 accident-prone intersections for returning, from the total intersections of two way path. Also, for path towards Karaj-Qazvin none of the parameters and for returning path the only parameter of accident type contained spatial autocorrelation in the five successive years.

**Key words:** Road accident, Intersection, Spatial autocorrelation methods, Kernel density Estimation, GIS.

Correspondence Address: Department of Geospatial information system Engineering - Civil Engineering Faculty, Shahid Rajaee Teacher Training University- Lavizan Ave, Tehran, Iran. Tel: +98 21 22970021.  
Email: [saye.zeynali@srttu.edu](mailto:saye.zeynali@srttu.edu)